

พฤติกรรมของผู้ทางที่ชื่อมแซมด้วยการเสริมแผ่นใยสังเคราะห์

นายจตุรงค์ เจริญผล

โครงการนี้เป็นส่วนหนึ่งของการศึกษาหลักสูตรปริญญาวิศวกรรมศาสตรมหาบัณฑิต
การบริหารงานก่อสร้างและสารสนับสนุนปีกอค
สาขาวิชาชีวกรรมโยธา สำนักวิชาชีวกรรมศาสตร์
มหาวิทยาลัยเทคโนโลยีสุรนาครี
ปีการศึกษา 2555

พฤติกรรมของผู้ทางที่ชื่อม章程ด้วยการเสริมแฝ่ไนสังเคราะห์

มหาวิทยาลัยเทคโนโลยีสุรนารี อนุมัติให้นับ โครงการฉบับนี้เป็นส่วนหนึ่งของการศึกษา
ตามหลักสูตรปริญญามหาบัณฑิต

คณะกรรมการสอบโครงการ

(ผศ. ดร.พรศิริ จงกล)

ประธานกรรมการ

(ศ. ดร.สุขสันต์ หอพินิจสุข)

กรรมการ (อาจารย์ที่ปรึกษาโครงการ)

(ผศ. ดร.ปริยาพร โภคยา)

กรรมการ

(รศ. ร.อ. ดร.กนต์ธร ชำนิประสาสน์)

คณบดีสำนักวิชาชีวกรรมศาสตร์

จตุรงค์ เจริญผล : พฤติกรรมของพิวทางที่ซ่อมแซมด้วยการเสริมแผ่นไบสังเคราะห์

(PERFORMANCE OF PAVEMENTS REPAIRED BY GEOTEXTILE

REINFORCEMENT) อาจารย์ที่ปรึกษา : ศาสตราจารย์ ดร.สุขสันต์ หอพินิจสุข

ด้วยการเพิ่มขึ้นของปริมาณการจราจร ถนนลาดยางหลายเส้นเกิดความเสียหายก่อนระยะเวลาที่ออกแบบไว้ การซ่อมแซมแบบเดิมที่ใช้กันคือการขุดไส้พิวทางที่เสียหายออกจนถึงชั้นทางแล้วการปูพิวทางใหม่การประยุกต์ใช้แผ่นไบสังเคราะห์ในช่องบารุงถนนลาดยางนับเป็นทางเลือกใหม่ที่น่าสนใจและใช้กันอย่างแพร่หลาย งานวิจัยนี้ศึกษาพฤติกรรมของถนนที่ซ่อมแซมด้วยการเสริมแผ่นไบสังเคราะห์และเปรียบเทียบกับพฤติกรรมของถนนที่ซ่อมแซมด้วยวิธีเดิม ผู้วิจัยจัดทำแปลงทดสอบจำนวน 3 แปลง แปลงทดสอบที่ 1 เป็นพิวทางที่ซ่อมแซมด้วยวิธีเดิม แปลงทดสอบที่ 2 เป็นถนนที่เสริมแผ่นไบสังเคราะห์ และปูทับด้วยแอสฟัลต์คอนกรีตหนา 70 มิลลิเมตร และแปลงทดสอบที่ 3 เป็นถนนที่เสริมแผ่นไบสังเคราะห์ และปูทับด้วยแอสฟัลต์คอนกรีตหนา 50 มิลลิเมตร นอกจากอิทธิพลของความหนาของพิวทางแอสฟัลต์คอนกรีตที่ปูทับบนแผ่นไบสังเคราะห์แล้ว ผู้วิจัยยังได้ศึกษาอิทธิพลของขนาดของความเสียหายของพิวทางเดิมต่อพฤติกรรมของพิวทางเมื่อรับน้ำหนักบรรทุก ขนาดของความเสียหายจำลองด้วยเจาะรูบนชั้นพิวทางเดิมขนาด 3 มิลลิเมตร และ 10 มิลลิเมตร ผลการวิจัยสามารถสรุปได้ว่าการเสริมแผ่นไบสังเคราะห์ช่วยลดขนาดและอัตราการทรุดตัวแบบร่องล้อ ได้อย่างมีประสิทธิภาพ สำหรับความหนาของพิวทางที่เท่ากัน การติดตั้งแผ่นไบสังเคราะห์ที่ระดับความลึก 70 มิลลิเมตร ช่วยลดการทรุดตัวแบบร่องล้อได้ดีที่สุด สำหรับขนาดเจาะที่เท่ากัน ค่าความเครียดบนแผ่นไบสังเคราะห์ที่เกิดขึ้นในแปลงทดสอบที่ 3 มีค่ามากกว่าค่าความเครียดที่เกิดขึ้นในแปลงทดสอบที่ 2 เนื่องจากความเดินประสิทธิผลในแนวตั้งมีค่าสูงกว่า สำหรับความหนาของพิวทางใหม่ที่เท่ากัน ความเครียดมีค่าเพิ่มขึ้นตามขนาดของรูบนพิวทางเดิม แผ่นไบสังเคราะห์ยังคงสามารถต้านทานการฉีกขาดขึ้นจากพิวทางเดิมได้แม้ว่าขนาดของความเสียหายมีใหญ่ถึง 10 มิลลิเมตร

สาขาวิชา วิศวกรรมโยธา

ปีการศึกษา 2555

ลายมือชื่อนักศึกษา _____

ลายมือชื่ออาจารย์ที่ปรึกษา _____

JATURONG CHAROENPOL : PERFORMANCE OF PAVEMENTS
REPAIRED BY GEOTEXTILE REINFORCEMENT. ADVISOR : PROF.
SUKSUN HORPIBULSUK, Ph.D., P.E.

Due to an increase in traffic volume, pavements are damaged before their designed service life. The conventional repair method is milling the damaged pavement and then overlaying. An alternative means, which is widely applied in many countries, is the geotextile reinforcement. This research investigates the performance of the damaged pavements repaired by the geotextile reinforcement. Three repaired pavement sections were constructed. The first section was repaired by the conventional method. The second section was repaired by geotextile reinforcement with 70 mm thick asphaltic concrete overlay. The last section was repaired by geotextile reinforcement with 70 mm thick asphaltic concrete overlay. In addition to the thickness of asphaltic concrete, the influence of damage level in existing pavement on the performance of the repaired pavements was investigated. The damage level was represented by drilled holes on the pavement with diameters of 3 mm and 10 mm. It is concluded from this study that the geotextile reinforcement reduces the magnitude and rate of rutting on the repaired pavement. The 70 mm thick asphaltic concrete overlay exhibits the lowest rutting. For the same hole diameter, the strains on the geotextile in the last section is more than those in the second section because of the larger vertical effective stress. For the same asphaltic concrete overlay thickness, the strain increases with increasing hole diameter on the existing pavement. The geotextile can prevent the refractive crack, even with a large hole diameter of 10 mm.

กิตติกรรมประกาศ

โครงการมหาบัณฑิตนีสำเร็จลุล่วงไปได้ด้วยดี เนื่องด้วยคณาจารย์ได้ให้ความช่วยเหลืออย่างดีเยี่ง เลพะ ศาสตราจารย์ ดร.สุขสันต์ หอพินิจสุข อาจารย์ที่ปรึกษา ที่กรุณาให้คำปรึกษา แนะนำ ช่วยเหลือสนับสนุนเป็นอย่างดี ทั้งในด้านวิชาการด้านการดำเนินงานวิจัย และผู้วิจัยต้องขอบคุณผู้ช่วยเหลืองานวิจัยให้แล้วเสร็จสมบูรณ์เป็นอย่างดี คือ คุณณัฐรชัย โปรดংমณี คุณอนันต์ นิรนิตครบุรี คุณอิสรระ นนท์นิราษ ข้าราชการและพนักงานจ้างกองช่างองค์การบริหารส่วนตำบลท่าคล้อทุกคน นายกองค์การบริหารส่วนตำบลท่าคล้อ (นายทนงยุทธ จันทกุล) และต้องขอบคุณบริษัท TENCATE ประเทศไทย จำกัด ที่ช่วยอนุเคราะห์สนับสนุนวัสดุสังเคราะห์โพลีเพลท PGM-G ในงานวิจัยครั้งนี้

สุดท้ายนี้ ขอขอบคุณและขอบใจครอบครัวที่ยอมเสียเวลาให้ข้าพเจ้าทำการศึกษาจนจบหลักสูตร และเพื่อนร่วมงานทุกคนที่ช่วยเหลือในการพิมพ์เอกสาร ทำ Power point นำเสนอโดยให้กำลังใจ ถ้ามีไถ่ความเป็นไปของโครงการวิจัยอยู่เสมอ ทำให้ผู้ศึกษามีกำลังใจที่จะพัฒนาโครงการวิจัยจนสำเร็จได้ด้วยดี

จตุรงค์ เจริญผล

สารบัญ

	หน้า
บทคัดย่อภาษาไทย	ก
บทคัดย่อภาษาอังกฤษ	خ
กิตติกรรมประกาศ	ค
สารบัญ	ง
สารบัญตาราง	ฉ
สารบัญรูปภาพ	ช
บทที่	
1 บทนำ	1
1.1 ความเป็นมาและความสำคัญของปืนหิน	1
1.2 วัตถุประสงค์	3
1.3 ขอบเขตของการศึกษา	3
1.4 ประโยชน์ที่คาดว่าจะได้รับ	4
2 ปริพันธ์วรรณกรรมงานวิจัยที่เกี่ยวข้อง	5
2.1 บทนำ	5
2.2 สาเหตุสำคัญที่ทำให้ถนนเกิดความเสียหาย	5
2.3 ประเภทของการชำรุดรักษาทาง	5
2.4 ผิวทางลาดยาง	6
2.5 รอยแตกร้าวจากหลดตัว (Shrinkage Cracks)	7
2.6 การทรุดตัวเป็นแนวร่องล้อ (Channels or Ruts)	8
2.7 ผิวทางเป็นหลุมเป็นบ่อ(Pot Holes)	9
2.8 การเยิ่มของแอสฟัลต์ (Bleeding or Flushing Asphalt)	11
2.9 ผิวทางเป็นลูกคลื่นระนาด (Corrugations)	12
2.10 เทคนิคการยืดอายุผิวทางด้วยวัสดุไอลสังเคราะห์สำหรับเสริมผิวทางแอสฟัลต์	12
2.11 ทำไไม่ถึงต้องใช้ Poly felt PGM-G	13
2.12 ข้อดีที่ได้จากการใช้งานแผ่นเสริมกำลังสำหรับผิวทางของโพลีไฟล์ท์ PGM-G	15
3 วิธีดำเนินการศึกษา	16
3.1 รูปหน้าตัดของแปลงทดสอบ	16

3.2 ประมาณราคา (Estimate)	17
3.3 เครื่องมือที่ใช้ในการวิจัย	20
4 ผลทดสอบและการอภิปรายผลการทดสอบ	21
4.1 บทนำ	21
4.2 คุณสมบัติของวัสดุและอุปกรณ์การตรวจวัด	22
4.2.1 แอดส์เพล็คตคอนกรีต	22
4.2.2 โครงสร้างชั้นทาง	22
4.2.3 วัสดุไบสังเคราะห์ TenCateMirafi® PGM-G 50/50	23
4.2.4 Strain Gauge	24
4.2.5 Settlement Point	24
4.3 วิธีการทดสอบ	25
4.3.1 แปลงทดสอบ	25
4.3.2 การติดตั้งอุปกรณ์ตรวจวัดและการวัดค่าความเครียด (Strain Gauge)	28
4.3.3 การติดตั้งอุปกรณ์ตรวจและการตรวจวัดค่าการทรุดตัว (Settlement Point)	32
4.3.4 การวัดค่าระดับตามขวางของแปลงทดสอบ (Cross Sectional Profile)	32
4.3.5 ปริมาณจราจร	33
4.4 ผลการทดสอบ	34
4.4.1 การทรุดตัวของถนน	34
4.4.2 ความเครียดที่เกิดขึ้นบนแผ่นไบสังเคราะห์	38
5 สรุปผลการวิจัย	41
5.1 สรุปผลการวิจัย	41
เอกสารอ้างอิง	42
ภาคผนวก	43
ประวัติผู้เขียน	48

สารบัญตาราง

ตารางที่	หน้า
3.1 ประมาณราคาค่าก่อสร้างแปลงทดสอบที่ 1	18
3.2 ประมาณราคาค่าก่อสร้างแปลงทดสอบที่ 2	19
3.3 ประมาณราคาค่าก่อสร้างแปลงทดสอบที่ 3	20
4.1 คุณสมบัติของวัสดุไยสัมเคราะห์รุ่น PGM-G 50/50	24
4.2 ค่า Load Equivalent Factor ของน้ำหนักเพลาขนาดต่างๆ	34

สารบัญรูปภาพ

รูปที่	หน้า
1.1 สภาพความเสียหายของถนน	3
2.1 ผิวทางลาดยางแทกร้าวแบบหนังจะระเบี้ย	6
2.2 ผิวทางลาดยางแทกร้าวจากการหดตัว	7
2.3 ผิวทางลาดยางทรุดตัวเป็นร่องล้อ	8
2.4 ผิวทางลาดยางชำรุดเป็นหลุมเป็นบ่อ	9
2.5 ขั้นตอนการซ่อมแซมแบบการ (Deep patch)	10
2.6 การเย็บของแอสฟัลต์	11
2.7 ผิวทางลาดยางเป็นคลื่นลูกกระนาด	12
2.8 การประยุกต์ใช้วัสดุแผ่นไอลังเคราะห์	13
2.9 การประยุกต์ใช้โพลีเพลท์ PGM-G ในงานสนามบิน	14
3.1 แปลนแปลงทดสอบ	16
3.2 รูปหน้าตัดของแปลงทดสอบที่ 1, 2 และ 3	17
4.1 สภาพความเสียหายบนถนนที่เกิดขึ้นเนื่องจากรถบรรทุก	21
4.2 รูปตัดถนนสายบ้านท่าศาลา - หินช้อน	23
4.3 ขั้นตอนการขุดรื้อผิวทางเก่าออก	26
4.4 ขั้นตอนการปูและบดอัดชั้นแอสฟัลต์คอนกรีต	26
4.5 ขั้นตอนการเจาะรูที่ผิวทางเพื่อจำลองรอยแทกร้าวนผิวถนน	27
4.6 ขั้นตอนการปูวัสดุไอลังเคราะห์	27
4.7 ขั้นตอนการติดตั้ง Strain Gauge	28
4.8 ขั้นตอนการบดอัดแอสฟัลต์คอนกรีตทับ	28
4.9a ขั้นตอนการติดตั้ง Strain Gauge	29
4.9b ขั้นตอนการติดตั้ง Strain Gauge	30
4.9c ขั้นตอนการติดตั้ง Strain Gauge	30
4.9d ขั้นตอนการตรวจวัดค่า Strain Gauge	31
4.9e ขั้นตอนการตรวจวัดค่า Strain Gauge	31
4.10 รายละเอียดและตำแหน่งที่ติดตั้งอุปกรณ์ตรวจวัด	32
4.11 ขั้นตอนการทำรายการค่าระดับในแนววางถนน	33

4.12a	ค่าระดับการทรุดตัวตามแนวตัดขวางถนนในแปลงทดสอบที่ 1	36
4.12b	ค่าระดับการทรุดตัวตามแนวตัดขวางถนนในแปลงทดสอบที่ 2	37
4.12c	ค่าระดับการทรุดตัวตามแนวตัดขวางถนนในแปลงทดสอบที่ 3	37
4.13	ความสัมพันธ์ระหว่างอัตราการทรุดตัวเทียบกับจำนวนเที่ยวของน้ำหนักเพลาเดี่ยว มาตรฐาน 18,000 ปอนด์	38
4.14a	ความสัมพันธ์ระหว่างความเครียดที่เกิดขึ้นบนผ้าใบสังเคราะห์และจำนวนเที่ยวของ น้ำหนักเพลาเดี่ยวมาตรฐาน 18,000 ปอนด์ สำหรับแปลงทดสอบที่ 3	39
4.14b	ความสัมพันธ์ระหว่างความเครียดที่เกิดขึ้นบนผ้าใบสังเคราะห์และจำนวนเที่ยวของ น้ำหนักเพลาเดี่ยวมาตรฐาน 18,000 ปอนด์ สำหรับแปลงทดสอบที่ 2	40

บทที่ 1

บทนำ

1.1 ความเป็นมาและความสำคัญของปัญหา

ด้วยปริมาณการจราจรได้เพิ่มขึ้นอย่างมาก เนื่องจากการเพิ่มขึ้นของจำนวนประชากรและการขยายเขตอุตสาหกรรมในประเทศไทย ถนนลาดยาง (Flexible Pavement) ต้องรับน้ำหนักบรรทุกและปริมาณการจราจรมากที่มากเกินกว่าที่ออกแบบไว้ ส่งผลให้เกิดความเสียหายก่อนเวลาอันควร ความเสียหายที่พบส่วนใหญ่ที่สุดเป็นแบบร่องล้อ (Rutting) และแบบรอยร้าว (Crack) สาเหตุของความเสียหายอาจเกิดจากการที่ถนนรับน้ำหนักบรรทุกที่มากเกินไปแบบช้าๆ เป็นระยะเวลานานจนเกิดความล้าของผิวทาง หรืออาจเกิดจากกำลังรับแรงเฉือนของผิวทางไม่เพียงพอ ต่อแรงที่กระทำช้าๆ ได้ การซ่อมบำรุงแบบเดิมคือการขูดไส (Milling) ผิวทางที่เสียหายจะถูกขูดออกแล้วปูทับด้วยผิวทางใหม่ หรือการปูทับผิวทางเดิมที่เสียหายด้วยผิวทางใหม่ (Overlay) การซ่อมบำรุงถนนด้วยวิธีเดิมนอกจากจะใช้เวลานานแล้ว ถนนที่ซ่อมบำรุงยังมีอายุการใช้งานสั้น

การซ่อมบำรุงถนนโดยการเสริมแผ่นไสสังเคราะห์เป็นแนวทางหนึ่งที่มีประสิทธิภาพและใช้งานกันอย่างแพร่หลายในหลายประเทศทั่วโลก การซ่อมบำรุงด้วยวิธีนี้มีประสิทธิภาพสูงและมีขั้นตอนในการก่อสร้างที่ง่ายและประหยัดเวลา

การใช้แผ่นไสสังเคราะห์เสริมกำลังในชั้นทางแอสฟัลต์คอนกรีตสามารถช่วยลดการเกิดร่องล้อได้ดีทั้งกับถนนเปียกและแห้ง และได้รับการพิสูจน์แล้วว่ามีประสิทธิภาพสูงแม้ผิวทางถนนมีอุณหภูมิสูงถึง 60 องศาเซลเซียส (Fwa et al., 2004) ผิวทางลาดยางของสนามบินนานาชาติ Salgado Filho ในประเทศบราซิล ก่อสร้างด้วยการเสริมแผ่นไสสังเคราะห์ หลังใช้งานมาเป็นระยะเวลา 8 ปี ถนนลาดยางเสริมแผ่นไสสังเคราะห์สามารถป้องกันการแตกร้าวนผิวทางใหม่ และสามารถลดความเค้นที่กระทำในชั้นพื้นทาง (ช่วยป้องกันการเกิดร่องล้อ) แผ่นไสสังเคราะห์ช่วยเพิ่มการยึดเกาะระหว่างผิวทางเก่าและผิวทางใหม่ได้อย่างมีประสิทธิภาพ (Hessing et al., 2011) การก่อสร้างถนนลาดยางในรัฐ Wyoming ประเทศสหรัฐอเมริกา สามารถลดความหนาของชั้นพื้นทางด้วยการเสริมแผ่นไสสังเคราะห์ การตรวจวัดก่อสร้างแล้ว 3 ปี พบว่าถนนยังมีความแข็งและสามารถทนทานต่อการเกิดร่องล้อได้อย่างดี และมีความคุ้มค่าในการก่อสร้างเมื่อเทียบกับถนนลาดยางที่ไม่เสริมกำลัง (Berg et al., 2000)

อำเภอแก่งคอยเป็นอำเภอหนึ่งในจังหวัดสระบุรี ตั้งอยู่ทางทิศตะวันออกของจังหวัดสระบุรี และมีอาณาเขตติดต่อกับอำเภอพัฒนานิคม (จังหวัดลพบุรี) และอำเภอวังม่วง ในทิศเหนือ อำเภอแก่งเหล็ก ในทิศตะวันออก อำเภอเมืองสระบุรี และอำเภอเนินลิมพระเกียรติ ในทิศใต้ อำเภอเมือง

สระบูรี และอำเภอเมืองศรีสะเกษ อำเภอเมืองบ้านนา (จังหวัดศรีสะเกษ) และอำเภอวิหารแดง (จังหวัดสระบูรี) ในพิเศษวันตก อำเภอแก่งคอย มีพื้นที่รับผิดชอบ 801.1 ตารางกิโลเมตร ถนนที่อยู่ในความดูแลของเทศบาลเมืองและองค์การบริหารส่วนตำบล เป็นถนนยืดหยุ่น (Flexible Pavement) มีระยะทางรวมทั้งสิ้น 508 กิโลเมตร ถนนหลายเส้นภายในเขตอำเภอแก่งคอย จังหวัดสระบูรีมีอายุใช้งานเกินกว่า 10 ปี และการสำรวจถนนภายใต้การบริหารส่วนตำบลและเทศบาลพบความเสียหาย (รูปที่ 1.1) เนื่องจากปริมาณจราจรที่เพิ่มมากขึ้นอย่างรวดเร็ว กอปรกับความเสื่อมสภาพของวัสดุพื้นทางลักษณะความเสียหายที่พบส่วนใหญ่เป็นการเสียหายเนื่องจากร่องรอย (rutting) และการเสื่อมสภาพของแอลฟล็อกต์ จนก่อให้เกิดเป็นหลุม แม้ว่าการซ่อมแซมถนนด้วยการเสริมแผ่นเส้นใย (geotextile) จะเป็นแนวทางที่มีประสิทธิภาพและใช้กันอย่างแพร่หลายในหลายประเทศ (Youwai et al., 2012) แต่อย่างไรก็ตาม การประยุกต์ใช้วัสดุเส้นใยยังไม่เป็นที่นิยมแพร่หลายมากนักในประเทศไทย ทั้งนี้อาจเนื่องจากงานวิจัยที่พิสูจน์ประสิทธิภาพของการประยุกต์ใช้แผ่นเส้นใยในการซ่อมแซมถนนยังมีไม่นัก

งานวิจัยนี้มีวัตถุประสงค์เพื่อศึกษาถึงประสิทธิภาพของการประยุกต์ใช้แผ่นไบสังเคราะห์ในการซ่อมแซมผิวทางที่ชำรุด และศึกษาอิทธิพลของความหนาของชั้นผิวทางที่ปูทับบนแผ่นไบสังเคราะห์และขนาดความเสียหายของผิวทางเดิมต่อพฤติกรรมของผิวทางที่ได้รับการซ่อมแซม พฤติกรรมของผิวทางใหม่ที่ตรวจวัดประกอบด้วยการทรุดตัวของผิวทาง การเกิดร่องล้อ และความเครียดที่เกิดขึ้นในวัสดุเส้นใย ผลการศึกษาวิเคราะห์นี้สามารถใช้เป็นข้อมูลอ้างอิงสำหรับการปรับปรุงถนนที่เสียหายในลักษณะเดียวกันได้



รูปที่ 1.1 สภาพความเสียของถนน

1.2 วัตถุประสงค์

- 1.2.1 เพื่อศึกษาประสิทธิภาพของการประยุกต์ใช้แผ่นไอลังเคราะห์ในการซ่อมแซมถนน
- 1.2.2 เพื่อเปรียบเทียบพฤติกรรมของผิวทางที่ซ่อมแซมด้วยการเสริมแผ่นไอลังเคราะห์ และเปรียบเทียบกับการซ่อมแซมด้วยวิธีเดิม (ชุดไอลังเคราะห์เดิมจะถูกขันทางและปูทับด้วยผิวทางใหม่)
- 1.2.3 เพื่อศึกษาอิทธิพลของความหนาของผิวทางใหม่และขนาดของความเสียหายบนผิวทางเดิมต่อพฤติกรรมของผิวทางใหม่

1.3 ขอบเขตของการศึกษา

ถนนที่จะทำการศึกษาวิจัยเป็นถนนเยื้ดหยุ่น(Flexible Pavement) บนถนนลากยางสาย บ้านท่าศาลา-บ้านหินซ้อน ระยะทาง 17.028 กิโลเมตร เขตตำบลท่าคล้อ อำเภอแก่งคอย จังหวัดสระบุรี ผู้วิจัยจะทำการซ่อมบำรุงผิวทางเดิมด้วยวิธีดั้งเดิม (ชุดไอลังเคราะห์เดิมออกทั้งหมดและปูทับด้วยผิวแอสฟัลต์ คอนกรีตใหม่) และการซ่อมบำรุงด้วยการเสริมแผ่นไอลังเคราะห์ แผ่นไอลังเคราะห์ที่ใช้ในงานวิจัยนี้ได้รับการสนับสนุนจากบริษัท Tencate Geosynthetics ประเทศไทย จำกัด แบ่งทดสอบประกอบด้วย 3 แปลง แปลงแรกเป็นการซ่อมบำรุงแบบดั้งเดิม แปลงที่สองและแปลงที่สาม เป็นการซ่อมบำรุงด้วยการเสริมแผ่นไอลังเคราะห์และปูทับด้วยแอสฟัลต์คอนกรีต ในแปลงที่สอง

และสาม ผิวทางเดินจะลูกบุดออกจนหมด (ความหนา 10 เซนติเมตร) และปูทับกลับด้วยแอสฟัลต์ คอนกรีตหนา 3 เซนติเมตร และ 5 เซนติเมตร สำหรับแปลงทดสอบที่ 2 และ 3 ตามลำดับ ก่อนปูทับด้วยแผ่นไยสังเคราะห์หลังจากนั้น ทำการปูทับด้วยแอสฟัลต์คอนกรีตจนได้ความหนาเท่ากับ 10 มิลลิเมตร แปลงทดสอบทั้งสามแปลงจะรับน้ำหนักบรรทุกจากยานเป็นระยะเวลาประมาณ 1 เดือน ผู้วิจัยจะทำการตรวจการทรุดตัวบนผิวทางและความเครียดที่เกิดขึ้นในแผ่นไยสังเคราะห์ ในทุกๆ วันตลอดระยะเวลาทำการวิจัย ท้ายสุด ผู้วิจัยจะนำผลการตรวจวัดมาวิเคราะห์และสรุปประสิทธิภาพของการประยุกต์ใช้แผ่นไยสังเคราะห์ในการซ่อมแซมถนน

1.4 ประโยชน์ที่คาดว่าจะได้รับ

- 1.4.1 ทราบถึงประสิทธิภาพของการประยุกต์ใช้แผ่นไยสังเคราะห์ในการซ่อมแซมถนน
- 1.4.2 ทราบถึงพฤติกรรมของผิวทางที่ซ่อมแซมด้วยการเสริมแผ่นไยสังเคราะห์และเปรียบเทียบกับการซ่อมแซมด้วยวิธีเดิม
- 1.4.3 ทราบถึงอิทธิพลของความหนาของผิวทางใหม่และขนาดของความเสียหายของผิวทางทางเดิมต่อพฤติกรรมของผิวทางใหม่

บทที่ 2

ปริศน์วรรณกรรมงานวิจัยที่เกี่ยวข้อง

2.1 บทนำ

การชำรุดเสียหายของผิวทางเกิดขึ้นได้จากหลายสาเหตุ เช่น การจราจรที่เพิ่มขึ้น การเคลื่อนที่ของชั้นดิน ปริมาณความชื้นที่เพิ่มมากขึ้น การเปลี่ยนแปลงอุณหภูมิที่แตกต่างกันมาก และการก่อสร้างที่ไม่ได้มาตรฐานเป็นต้น สาเหตุต่างๆ ที่กล่าวมาทำให้ผิวทางเกิดการแตกร้าว(Cracking) เกิดการทรุดตัวของโครงสร้างทาง เกิดการชำรุดเป็นหลุม เป็นบ่อ เกิดการแยกตัวของผิวทาง การชำรุดที่เกิดขึ้นเพียงเล็กน้อย ถ้าได้รับการซ่อมบำรุง (maintenance) อย่างถูกวิธี ก็ไม่จะลุกคลามและเกิดความเสียหายอย่างรุนแรงในที่สุด

2.2 สาเหตุสำคัญที่ทำให้เกิดความเสียหาย

2.2.1 สาเหตุสำคัญที่ทำให้เกิดความเสียหายมีดังต่อไปนี้

1. ปริมาณการจราจร เช่น การเพิ่มขึ้นของปริมาณรถบรรทุก
2. น้ำหนักของယดยาน เช่น การบรรทุกน้ำหนักเกิดจากพิกัดที่กำหนด
3. สภาพดิน ฟ้า อากาศ เช่น ฝนตกหนัก น้ำท่วมขัง อาคารร้อนจัด
4. การควบคุมการก่อสร้างที่เป็นสาเหตุหนึ่งที่ทำให้เกิดชำรุดเสียหายเร็วหรือช้า

ผู้ควบคุมงานจะต้องมีความรู้ความสามารถ และความชำนาญในการควบคุมงาน และการเลือกใช้วัสดุ ให้เป็นไปตามมาตรฐานการก่อสร้าง ยกตัวอย่าง เช่น รู้จักเลือกประเภทและปริมาณของยางแอสฟัลต์ที่ใช้ในแต่ละลักษณะงานให้ถูกต้องตามที่กำหนดในแบบก่อสร้าง และรายการรวมถึงรู้จักรูปแบบวิธีในการบดอัด

2.3 ประเภทของการบำรุงรักษาทาง

2.3.1 กรรมทางหลวงชนบทได้แบ่งกิจกรรมงานบำรุงรักษาทางออกเป็น 4 ประเภท ดังนี้

1. งานบำรุงปกติ(Routine Maintenance) หมายถึง การบำรุงรักษาทางอยู่เป็นประจำ เพื่อให้ทางอยู่ในสภาพที่ใช้งานได้ดี ทำให้ผู้ใช้งานได้รับความสะดวก รวดเร็ว ปลอดภัยในการขับขี่ และป้องกันมิให้ความเสียหายลุกคลามแผ่กว้างออกไป เช่น งานกวาดเกลี่ยหรือขีบฐานรูปบดอัดทับใหม่ สำหรับผิวทางลูกรังงานอุดรอยแตก (Sealing) งานคาดผิว (Seal coat) งานปะซ้อมผิวทาง (Skin Patch) งานขุดซ้อมผิวทาง (deep patch) และการประยุกต์ใช้วัสดุเส้นใย (geotextile) ในการ

ซ่อมแซมความเสียของถนน ซึ่งแพร่หลายในหลายประเทศ แต่ยังไม่แพร่หลายมากนักในประเทศไทย

2. งานบำรุงรักษาตามกำหนดเวลา(Periodic Maintenance) การบำรุงรักษาตามช่วงเวลาที่กำหนด เพื่อเป็นการต่ออายุให้ทางอยู่ในสภาพที่ใช้งานได้นานขึ้น เช่น งานเสริมผิวกรัง งานจราจรทางลาดยาง และงานเสริมผิวแอสฟัลต์คอนกรีต เป็นต้น
3. งานบำรุงพิเศษ (Special Maintenance) หมายถึงการบำรุงเสริมแต่ง และปรับปรุงทางที่ชำรุดเสียหายเกินกว่าที่จะทำการซ่อมบำรุง โดยวิธีปกติให้กลับสู่สภาพเดิม รวมทั้งแก้ไขปรับปรุงหรือเพิ่มเติมสิ่งอำนวยความสะดวก เพื่อให้การใช้ทางหลวงเป็นไปด้วยความปลอดภัย เช่น งานซ่อมสร้างทาง, งานปรับปรุงไหล่ทาง, งานปรับปรุงคอกสะพาน, งานซ่อมไหล่ทาง, งานซ่อมสะพาน, งานแก้ไขน้ำท่วม, งานก่อสร้างทางระบายน้ำสาธารณะ และงานติดตั้งไฟฟ้าแสงสว่าง เป็นต้น
4. งานซ่อมฉุกเฉิน (Emergency Maintenance) การซ่อมบำรุงทางที่เกิดความเสียหายขึ้นโดยฉับพลันและไม่สามารถคาดการณ์ล่วงหน้าໄได้ ให้สามารถเบิดการจราจรได้ในขั้นแรกก่อน เช่น การเกิดอุทกภัย – ทำให้ถนนขาดหรือลื่นไถล (Side) หรือการเกิดวัวตภัยทำให้ตันไม้หรือลิงปลูกสร้างต่างๆ ล้มลงมาปิดกั้นการจราจร หินหรือดินบนภูเขาถล่มลงมากองบนถนนทำให้ขวางทางไม่สามารถสัญจรไปมาໄได้ เป็นต้น

2.4 ผิวทางลาดยาง

2.4.1 รอยแตกร้าวแบบหนังจะระเข้ (Alligator or Map Cracks) (รูปที่ 2.1)



รูปที่ 2.1 ผิวทางลาดยางแตกร้าวแบบหนังจะระเข้

สาเหตุ การแตกร้าวของผิวทางลาดยางแบบหนังจะระเบี้ยหรือแบบแผนที่เกิดมาจากหลายสาเหตุ ซึ่งอาจจะเกิดจากการทรุดตัวของชั้นดินกันทาง (subgrade) ที่บดอัดไม่ได้มาตรฐาน อาจจะเกิดจากมีปริมาณน้ำที่อิ่มตัวมากเกินไปในชั้นพื้นทาง (base courses) ทำให้วัสดุเม็ดไม่อู่ตัว และเมื่อมีรถบรรทุกวิ่งผ่านไปมา ก็จะทำให้ผิวทางแตกร้าวอันเนื่องมาจากชั้นโครงสร้างทางไม่มีความสามรถในการรองรับน้ำหนัก

การแก้ไข ต้องพิจารณาเป็นกรณีๆ ไป เช่น ถ้าเกิดจากการอิ่มตัวด้วยน้ำมากเกินไปของชั้นโครงสร้างทาง ก็ให้ขัดระบบระบายน้ำที่ดี จากนั้นก็ขุดเอาวัสดุชั้นพื้นทางที่อิ่มตัวด้วยน้ำออกไปทั้งหมด เสร็จแล้วให้นำวัสดุคัดเลือกใหม่มาลงใหม่ และต้องบดอัดเป็นชั้นๆ ตามมาตรฐานที่กำหนดจนถึงชั้นผิวทาง ทำการไฟร์มโคลทก่อนแล้วจึงจะทำชั้นผิวลาดยางและบดอัดให้แน่นและได้ระดับตามผิวทางเดิม

กรณีเกิดจากปริมาณจราจรที่มากหรือแบกรับน้ำหนักมากเกินไป (overload) การแก้ไขทำได้โดยการเสริมหรือประส่วนที่ทรุดตัวให้ได้ระดับเสียก่อน จากนั้นจึงออกแบบเสริมกำลังผิวทางด้วยวิธีการปูผิวทางใหม่ทับผิวทางเดิมอีกชั้นหนึ่ง (overlay)

ถ้ารอยแตกร้าวนั้นขังเกิดขึ้นไม่น่าจะ ก็ให้รับซ้อมบำรุงด้วยวิธีลับผิว (seal coat) หรือด้วยวิชลีสเลอร์ซีล (slurry seal) รายละเอียดทั้งสองวิธีให้ศึกษาเพิ่มเติมตามมาตรฐานกรมทางหลวง

2.5 รอยแตกร้าวจากการหดตัว (Shrinkage Cracks) (รูปที่ 2.2)



รูปที่ 2.2 ผิวทางลาดยางแตกร้าวจากการหดตัว

สาเหตุ การแตกร้าวแบบนี้มีลักษณะรอยแตกร้าวเชื่อมโยงกันและเป็นนูนแหลม การพิจารณาสาเหตุของการแตกร้าวจากการทดสอบด้านน้ำที่อยู่ข้างระบุให้ชัดได้ยากว่าเกิดจากการทดสอบตัวหรือเปลี่ยนแปลงปริมาณจากส่วนใดของชั้นโครงสร้าง ซึ่งอาจจะเกิดจากชั้นดินก้นทาง หรือพื้นทางหรือตัวผิวทางเอง

การแก้ไข ต้องทำการทดสอบคุณภาพของอัคคลม เป้าให้พิเศษที่สุด ไปให้หมด จากนั้นจึงพ่นน้ำให้ความชุ่มชื้นแก่พิเศษที่สุด ให้ทั่วถึง ทำการพ่นแท็คโค้ทให้ทั่วบริเวณจากนั้นเลือกทางการซ่อมแซมผิวแตกร้าวด้วยวิธีสเลอร์รีซิลทรีโอวิชเชอร์เฟชทรีคเมนต์(surface treatment) อย่างโดยอย่างหนึ่ง

2.6 การทรุดตัวเป็นแนวร่องล้อ (Channels or Ruts) (รูปที่ 2.3)



รูปที่ 2.3 ผิวทางลาดยางทรุดตัวเป็นร่องล้อ

สาเหตุ เกิดจากการบดอัดชั้นดินก้นทางที่ไม่ได้มาตรฐาน เมื่อมีน้ำหนักบรรทุกวิ่งผ่าน ทำให้สลดให้ผิวทางเคลื่อนตัวออกด้านข้าง ซึ่งเป็นการเสียรูปอย่างถาวร หรือเกิดจากวัสดุแօฟฟ์เพลต์ผิวทางมีส่วนผสมที่ไม่คงตัว ที่ทำให้ผิวทางทรุดตัวได้ หรือเกิดจากการแบกรับน้ำหนักบรรทุกเกินกำหนดเกินกว่าชั้นโครงสร้างทางจะรับได้

การแก้ไข ทำการตรวจสอบระดับการบดอัดที่ต่ำและปิดเส้นรอบบริเวณที่ยุบตัว จากนั้นให้ทำการทดสอบคุณภาพของอัคคลม เป้าให้พิเศษที่สุด ให้ทั่วบริเวณ ปูแօฟฟ์เพลต์คอนกรีตเกรดแน่นสูงลงในแนวร่องล้อ

ให้เต็มและเกลี่ยให้ได้ระดับ พร้อมบดอัดให้แน่นและราบผิวด้วยแซนด์ซีล (sand seal) อีกครั้งเพื่อป้องกันน้ำซึมผ่านลงไประหว่าง

2.7 ผิวทางเป็นหลุมเป็นบ่อ (Pot Holes) (รูปที่ 2.4)



รูปที่ 2.4 ผิวทางลาดยางชำรุดเป็นหลุมเป็นบ่อ

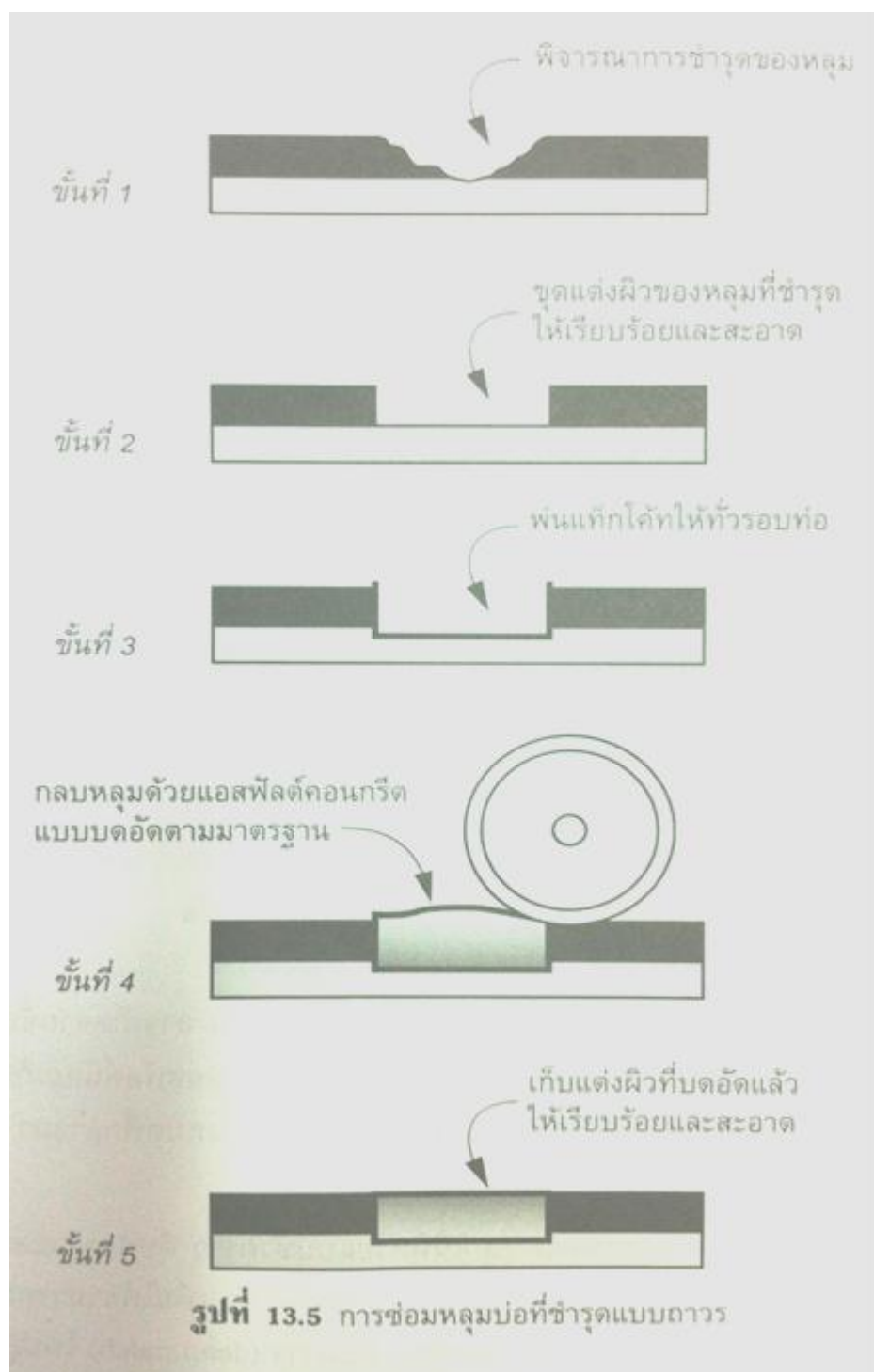
สาเหตุ การชำรุดของผิวทางเป็นหลุมเป็นบ่อ มักเกิดจากหลายสาเหตุ เช่น อาจเกิดจากชั้นผิวทางบางเกินไป หรือเกิดจากชั้นพื้นทางชำรุด ทำให้ผิวทางชำรุดไปด้วย หรือเกิดจากส่วนผสมและฟลีต์น้อยเกินไป ทำให้วัสดุมวลรวมแตกต่างกันมาก หรือปล่อยให้น้ำขังบนผิวทางนานๆ และบ่อยๆ จากสาเหตุทั้งหมดที่กล่าวมา เมื่อมีน้ำหนักบรรทุกไว้ผ่านจุดที่อ่อนแองน์บ่ออย่างต่อเนื่อง ก็จะเกิดชำรุดเป็นหลุมเป็นบ่อขึ้น

การแก้ไข การซ่อมแซมหลุมบ่องมักจะซ่อมแบบบุกเดินหรือแบบชั่วคราว คือทำความสะอาดหลุมเสริง ก็ใช้การปะซ่อม (patching) ด้วยแอสฟล็อกต์คอนกรีต และบดอัดด้วยเครื่องตบขนาดเล็ก เพื่อให้สามารถปิดผิวจราจรได้เร็วที่สุด แต่มักจะซ่อมแซมอยู่บ่อยๆ เพราะไม่ทันทาน แต่ถ้าซ่อมแซมแบบถาวร (deep patch) ให้ปฏิบัติตามรูปที่ 2.5 ขั้นตอนการซ่อมแซมแบบถาวร (deep patch) ดังนี้

ขั้นที่ 1 พิจารณาขนาดและความลึกของหลุม

ขั้นที่ 2 บุดผิวทางและชั้นพื้นทางที่ชำรุดออกให้หมด

- ขั้นที่ 3 แต่งหลุมให้เรียบร้อย แล้วพ่นแท็คโค้ทให้ทั่งพื้nl่างและบ่อโดยรอบ
 ขั้นที่ 4 กลบหลุมด้วยแอสฟัลต์คอนกรีตจันเต้ม และบดอัดตามมาตรฐาน
 ขั้นที่ 5 เก็บแต่งผิวให้ได้ระดับ



รูปที่ 2.5 ขั้นตอนการซ่อมแซมแบบถาวร (Deep patch)

2.8 การเยิ่มของแอสฟัลต์ (Bleeding or Flushing Asphalt) (รูปที่ 2.6)

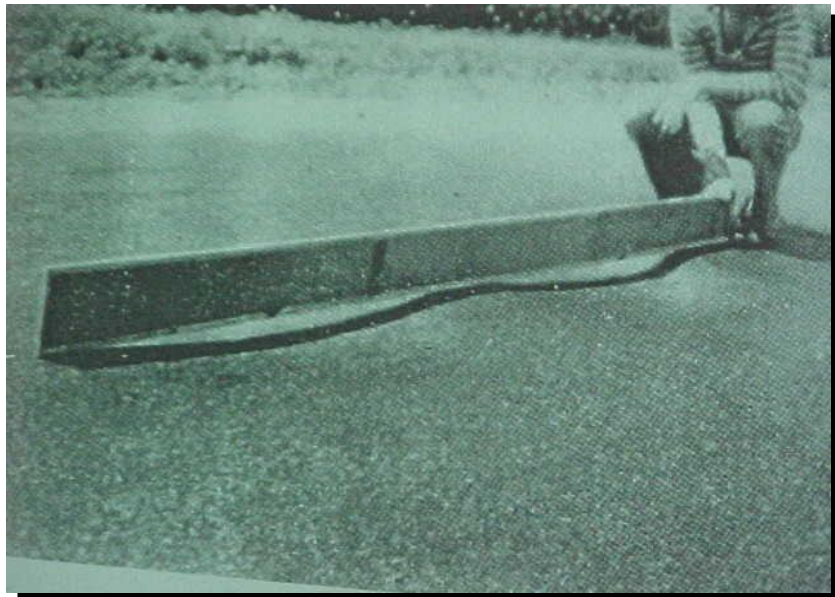


รูปที่ 2.6 การเยิ่มของแอสฟัลต์

สาเหตุ เราจะพบเห็นการเยิ่มของแอสฟัลต์ในช่วงอาคารร้อน สีนี้องมาจากการส่วนผสมของวัสดุผิวทางผสมไม่ได้สัดส่วน ทำให้แอสฟัลต์เยิ่มขึ้นมาบนผิวหน้าของผิวทาง นอกจากนี้อาจเกิดจากขั้นตอนทำไฟร์มโค้กหรือแท็คโค้กที่ฟันหนาเกินไป ทำให้แอสฟัลต์ส่วนเกินเยิ่มขึ้นมา หรือกรณีการซ่อมผิวทางด้วยวิธีซีลโค้กที่ไม่ได้มาตรฐาน หรือบางกรณีอาจเกิดจากน้ำหนักรถบรรทุกที่หนักเกินกำหนดกดทับลงไป ทำให้แอสฟัลต์ถูกกดดันจนเยิ่มขึ้นมาได้

การแก้ไข ถ้าการเยิ่มของแอสฟัลต์มีไม่นานนัก ก็อาจจะใช้วิธีสาดทรายร้อนเข้าไปปัด แอสฟัลต์ที่เยิ่มนั้นจนหมด จากนั้นทำการปรับระดับชั้นผิวทางเสียใหม่ด้วยวิธีเซอร์เฟชทรีตเมนต์ แต่ถ้ามีการเยิ่มของแอสฟัลต์จำนวนมาก ก็อาจจะใช้เครื่องปาดผิวหน้าถนนซึ่งใช้ความร้อน (heater planer) ในการปาดผิวทางจนเรียบได้ หรือพิจารณาแล้วเห็นว่าควรรื้อผิวทางเดิมแล้วทำการก่อสร้างใหม่ก็ได้

2.9 ผิวทางเป็นคลื่นลูกกระนาด (Corrugations) (รูปที่ 2.7)



รูปที่ 2.7 ผิวทางลาดยางเป็นคลื่นลูกกระนาด

สาเหตุ ปัญหาผิวทางเป็นคลื่นลูกกระนาดเกิดจากหอยสานเหตุด้วยกัน แต่หลักๆ แล้วเกิดจากวัสดุส่วนผสมของผิวทางแอสฟัลต์ไม่ได้สัดส่วนตามกำหนด เช่น ใช้วัสดุมวลรวมละเอียดมากเกินไป หรือใช้วัสดุที่มีผิวเรียบหรือกลมมากเกินไป หรือใช้ส่วนผสมของยางแอสฟัลต์น้อยกว่าที่กำหนด หรือสารผสมในส่วนที่ผสมแอสฟัลต์ระเหยตัวได้ไม่สม่ำเสมอ เหล่านี้ล้วนเป็นสาเหตุให้ผิวทางไม่คงตัวเกิดเป็นลูกกระนาด

การแก้ไข การซ่อนแซมผิวทางแบบนี้ ให้พิจารณาความหนาของผิวทางเดิมก่อน ถ้าผิวทางเดิมมีความหนาไม่มาก ก็อาจใช้เครื่องกราดคุ้ยผิวทางขึ้นมาแล้วทำการคลุกส่วนผสมใหม่ให้เข้ากันจากนั้นเคลี่ยให้สม่ำเสมอแล้วบดอัดให้ได้ความหนาแน่นตามมาตรฐาน และทำผิวทางทับใหม่อีกชั้นหนึ่ง

แต่ถ้าผิวทางหนาเกินกว่า 50 มม. ก็อาจใช้เครื่องให้ความร้อน (heater planer) ปาดผิวหน้าให้เรียบ จากนั้นให้ทำซีลโดยทับหน้า หรือจะปูแอสฟัลต์คอนกรีตอีกชั้นก็ได้

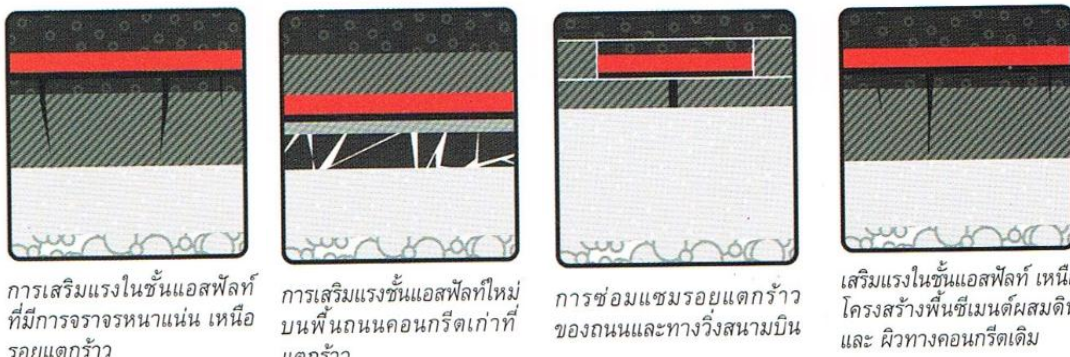
2.10 เทคนิคการยืดอายุผิวทางด้วยวัสดุเส้นใยสังเคราะห์สำหรับเสริมผิวทางแอสฟัลต์

ปริมาณการจราจรที่เพิ่มขึ้นอย่างต่อเนื่องตลอดจนน้ำหนักบรรทุกและการเปลี่ยนแปลงสภาพอุณหภูมิที่จะส่งผลต่อประสิทธิภาพของผิวทางแอสฟัลต์อย่างมาก ปริมาณแรงเค้นที่แตกต่าง

กันในแต่ละชั้น โครงสร้างทางที่เกิดขึ้นจะเป็นตัวการทำให้เกิดการขยายของรอยแตกร้าวเพิ่มขึ้น ซึ่ง รอยแตกร้าวทำให้น้ำและออกซิเจนแทรกซึมเข้าไปในชั้นแอสฟล็อกที่เป็นตัวเร่งให้เกิดการเสื่อมของ ยาง โพลีไฟล์ PGM-G สำหรับเสริมแรงให้กับผิวทางแอสฟล็อกได้พิสูจน์ให้เห็นแล้วว่าช่วยยืดอายุ ของผิวทาง และทำให้การใช้งานของพื้นผิวทางยาวนานขึ้น

2.11 ทำไมถึงต้องใช้ Poly felt PGM-G

โพลีไฟล์ PGM-G คือวัสดุแผ่นไส้สังเคราะห์สำหรับการเสริมกำลังให้กับชั้นผิวทาง แอสฟล็อกคอนกรีต โดยเป็นวัสดุแผ่นไส้สังเคราะห์ที่ประกอบไปด้วยเส้นใยแก้วเย็บติดเข้ากันแผ่นไส้ สังเคราะห์สำหรับผิวทางจะทำหน้าที่ดูดซับน้ำยางแท็ค โค้กในขณะที่เส้นใยแก้วจะทำหน้าที่เสริม กำลัง รูปที่ 2.8 แสดงการประยุกต์ใช้เส้นไส้สังเคราะห์ในงานซ่อมบำรุงผิวทาง

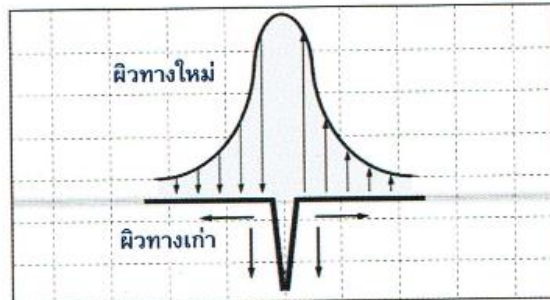


รูปที่ 2.8 การประยุกต์ใช้วัสดุแผ่นไส้สังเคราะห์

โพลีไฟล์ PGM-G เป็นวัสดุพิเศษสำหรับเสริมกำลังให้กับพื้นผิวทางแอสฟล็อกในสภาวะ การใช้งานที่มีการจราจรหนาแน่น และเกิดแรงเคี้ยวสูง เช่น ทางวิ่งสนามบินของจราจรที่รับน้ำหนัก มาก (รูปที่ 2.9) โพลีไฟล์ PGM-G ติดตั้งง่ายและรวดเร็ว ไม่ต้องใช้วัสดุเสริมผิวทางแบบอื่นๆ เช่น ตาข่ายเสริมกำลังแบบทั่วไปที่ต้องทำการยึดแผ่นวัสดุ เพื่อให้มั่นใจว่ามีแรงยึดเกาะที่ดีกับผิวทาง



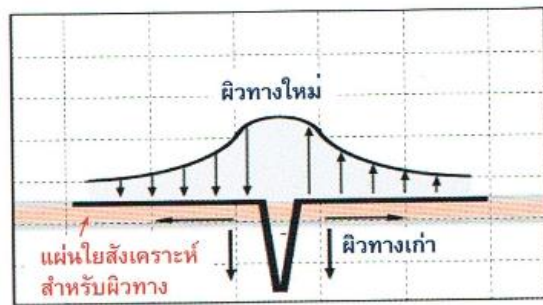
โพลีเพลท์ PGM-G จะเหมาะสมกับพื้นที่ที่ต้องรับแรง
เค้นสูง เช่น ทางวิ่งของสนามบิน



แผ่นไอลังเคราะห์เสริมผิวทางบริเวณที่มีรอยแตกร้าวสูง ง่ายต่อการที่รอยร้าวยายเข้าไปในผิวทางใหม่อย่างรวดเร็ว



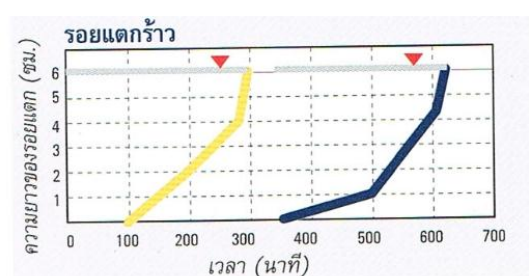
การซ่อมแซมผิวทางแตกร้าวที่เป็นแนวเส้นของโพลีเพลท์ PGM-G อย่างได้ผล



การติดตั้งแผ่นไอลังเคราะห์สำหรับผิวทางระหว่างผิวเก่าและใหม่ จะช่วยลดแรงเค้นคลื่นจุดของการหักหานงการขยายของรอยแตกร้าวของผิวทาง



การติดตั้งทำได้ง่ายและรวดเร็วสามารถติดตั้งได้แม้เป็นแนวโค้ง



โพลีเพลท์ PGM-G นั้นได้พิสูจน์ให้เห็นแล้วว่าช่วยหน่วงการขยายของรอยร้าวและยืดอายุการใช้งานผิวทางซึ่งเป็นองค์ประกอบหนึ่งของการใช้งานสำหรับผิวทาง

รูปที่ 2.9 การประยุกต์ใช้โพลีเพลท์ PGM-G ในงานสนามบิน

โพลีเพลท์ PGM-G ถูกออกแบบมาเพื่อให้เหมาะสมกับสภาพผิวที่อาจไม่เรียบสม่ำเสมอ เพื่อให้เกิดความมั่นใจว่าแรงยึดเกาะที่ผิวเก่าและใหม่จะมีคุณสมบัติการยึดเกาะที่ดีและสม่ำเสมอ กับ โพลีเพลท์ PGM-G และสามารถไถผิวทางออกได้ง่ายและนำกลับมารีไซเคิลใช้ใหม่ได้

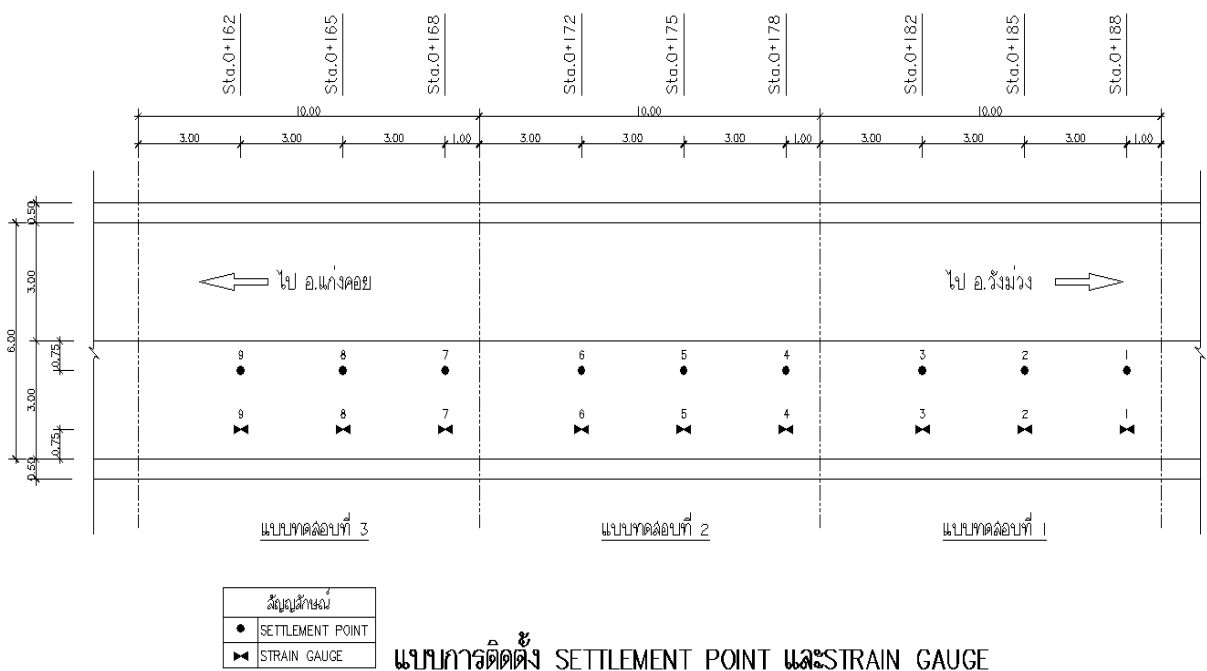
2.12 ข้อดีที่ได้จากการใช้งานแผ่นเสริมกำลังสำหรับผิวทางของโพลีฟีลท์ PGM-G

- คุณสมบัติค้านการยึดตัวที่น้อยกว่าร้อยละ 3%
- ติดตื้งสำหรับซ่อมแซมเฉพาะจุดและบริเวณรอยแตกร้าว
- ป้องกันการซึมผ่านของน้ำฝน และอากาศเข้าไปยังโครงสร้างถนนได้
- ยึดอายุการใช้งานที่นาน และลดการซ่อมแซม
- ลดแรงเคี้นและการขยายตัวของรอยแตกร้าวจากผิวทางเก่าสู่ผิวทางใหม่
- การยึดเกาะระหว่างชั้นแอสฟัลต์ก่อและส่งผ่านแรงที่หัวถึงตลอดทั้งโครงสร้าง

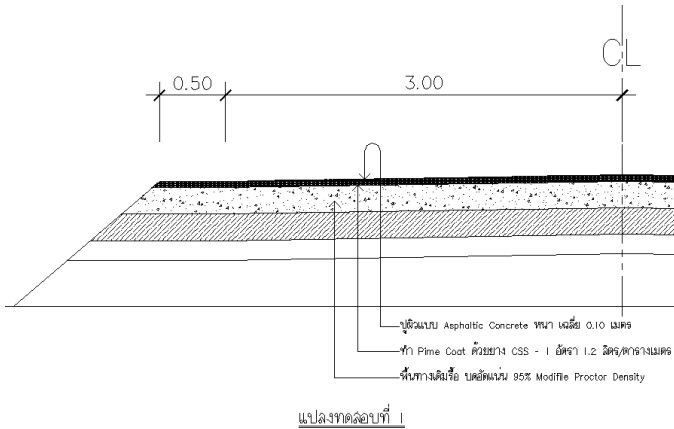
บทที่ 3 วิธีดำเนินการวิจัย

3.1 รูปหน้าตัดของแปลงทดสอบ

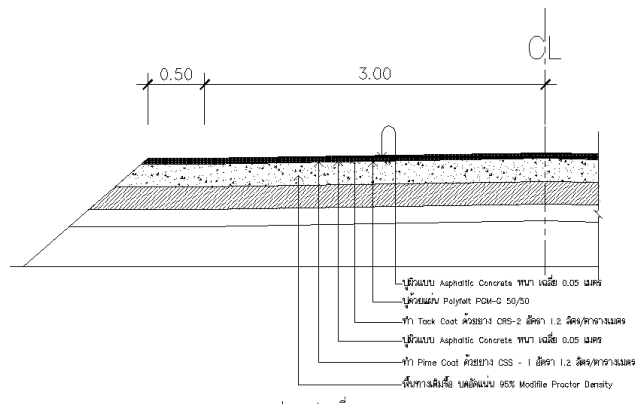
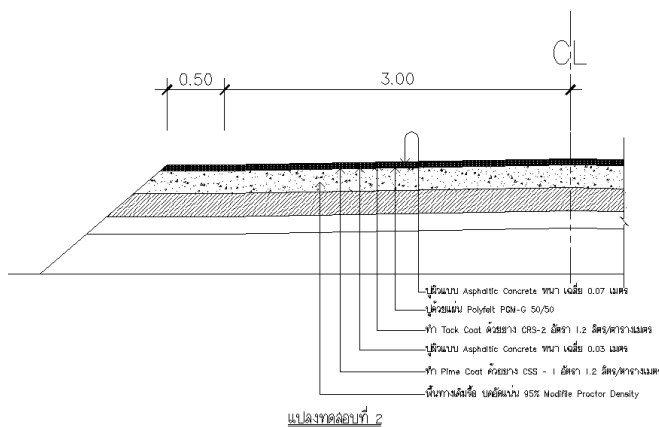
การวิจัยในครั้งนี้ศึกษาพฤติกรรมของถนนที่ซ่อมแซมด้วยการเสริมแผ่นไส้สังเคราะห์เบริญเทียบพฤติกรรมของถนนที่ซ่อมแซมด้วยวิธีเดิม (ชุดไส้ผิวแอสฟัลต์คอนกรีตเดิมและปูทับด้วยผิวแอสฟัลต์คอนกรีตใหม่) งานวิจัยนี้ได้รับการสนับสนุนแผ่นไส้สังเคราะห์จากบริษัท Tencate Geosynthetics ประเทศไทย จำกัด แปลงทดสอบประกอบด้วย 3 แปลง ติดกัน (รูปที่ 3.1) แปลงแรกเป็นการซ่อมบำรุงแบบดั้งเดิม แปลงที่สองและแปลงที่สามเป็นการซ่อมบำรุงด้วยการเสริมแผ่นไส้สังเคราะห์และปูทับด้วยแอสฟัลต์คอนกรีต ความหนาของผิวทางใหม่เท่านี้อ่อนกว่าไส้สังเคราะห์เท่ากับ 7 เซนติเมตร และ 5 เซนติเมตร สำหรับแปลงทดสอบที่สองและสาม ตามลำดับ



รูปที่
แปลง



3.1 แปลง การทดสอบ



รูปที่ 3.2 รูปหน้าตัดของแปลงทดสอบที่ 1, 2 และ 3

3.2 ประมาณราคา (Estimate)

การประมาณราคาสำหรับแปลงทดสอบห้องสารเคมีทำขึ้นเพื่อเปรียบเทียบค่าใช้จ่ายในการซ่อมบำรุงด้วยวิธีดั้งเดิม และซ่อมบำรุงด้วยวิธีเสริมแผ่นไส้สังเคราะห์ ตารางที่ 3.1 ถึง 3.3 แสดงรายการประมาณราคาค่าก่อสร้างสำหรับการทดสอบแปลงที่ 1 ถึง 3 ตามลำดับ จะเห็นได้ว่าค่าก่อสร้างมีราคา 21,300 บาท สำหรับแปลงที่หนึ่ง แปลงที่สองมีราคา 23,700 บาท และแปลงที่สามมีราคา 12,800 บาท ตามลำดับ

ตารางที่ 3.1 ประมาณราคาค่าก่อสร้างแปลงทดสอบที่ 1

รายการประมาณราคา									
ส่วนราชการ องค์กรบริหารส่วนท่านท่าคล้อ อำเภอแก่งคอย จังหวัดสระบุรี						แบบ ป.4/1			
ประเภทงาน ซ่อมสร้างถนนดินเจ้าราชแบบ Asphaltic concrete ขนาด หนาเฉลี่ย 10 ซม. หรือศักดิ์เป็นพื้นที่ไม่น้อยกว่า 30.00 ตร.ม.(ตามแบบ อบตท่าคล้อ)									
เข้าของงาน องค์การบริหารส่วนท่านท่าคล้อ อำเภอแก่งคอย จังหวัดสระบุรี									
สถานที่ก่อสร้าง ถนนสายบ้านท่าศาลา - ถนนช่อน กม.0+000 ถึง กม.0+350 หมู่ที่ 8 (บ้านท่าศาลา) ท่านท่าคล้อ อำเภอแก่งคอย จังหวัดสระบุรี									
ประมาณราคาที่อ้าง พฤศจิกายน พศ. 2555	แบบเลขที่								
ลำดับ ที่	รายการ	ประเมินงาน		คำนวณ		รวมคำนวณ		หมายเหตุ	
		หน่วย	จำนวน	หน่วยละ	จำนวนเงิน	หน่วยละ	จำนวนเงิน		
1	งานทาง								
1.1	งานปรับปรุงโครงสร้างทาง								
	ชุดรื้อผิวทางเดิน(ชั้นที่ 1)	ตร.ม.	30,000	-	-	8,900	267,000	267,000	
1.2	งานกีฬาและที่พัก								
	Prime Coat	ตร.ม.	30,000	4.890	146,700	6.200	186,000	332,700	
	Asphaltic concrete (ปูบน Prime Coat)	ตร.ม.	30,000	499.640	14,989,200	13.150	394,500	15,383,700	
	รวม							15,983,400	

สรุปผลการประมาณราคาค่าก่อสร้าง					
ส่วนราชการ องค์กรบริหารส่วนท่านท่าคล้อ อำเภอแก่งคอย จังหวัดสระบุรี					
ประเภทงาน ซ่อมสร้างถนนดินเจ้าราชแบบ Asphaltic concrete ขนาด หนาเฉลี่ย 10 ซม. หรือศักดิ์เป็นพื้นที่ไม่น้อยกว่า 30.00 ตร.ม.(ตามแบบ อบตท่าคล้อ)					
เข้าของงาน องค์การบริหารส่วนท่านท่าคล้อ อำเภอแก่งคอย จังหวัดสระบุรี					
สถานที่ก่อสร้าง ถนนสายบ้านท่าศาลา - ถนนช่อน กม.0+000 ถึง กม.0+350 หมู่ที่ 8 (บ้านท่าศาลา) ท่านท่าคล้อ อำเภอแก่งคอย จังหวัดสระบุรี					
ประมาณราคากลมแบบ ป.4 จำนวน 1 แผ่น					
ประมาณราคาที่อ้าง พฤศจิกายน พศ. 2555	แบบเลขที่				
ลำดับที่	รายการ	รวมค่างานทั้งหมด	FACTOR F	รวมค่าก่อสร้าง	หมายเหตุ
1	งานทาง	15,983,400	1.3365	21,361,814	FACTOR F - เฉินลดลงหน้าจ่าย.....% - ตอบเบี้ยเงินถูก 7 % - เฉินประภากันผลงานหัก.....% - ค่าภาษีมูลค่าเพิ่ม (VAT) 7 %
	รวมเป็นค่าก่อสร้าง			21,361,814	
สรุป	ศักดิ์เป็นเงินค่าก่อสร้างประมาณ			21,300,000	
	(อาจมีผลเมื่อกันสนธิเรื่องราบที่มา)				

ตารางที่ 3.2 ประมาณราคาก่อสร้างแปลงทดสอบที่ 2

รายการประมาณราคา									
ส่วนราชการ องค์การบริหารส่วนที่บาลท่าคล้อ อำเภอแก่งคอย จังหวัดสระบุรี							แบบ ประ.4/1		
ประเภทงาน ซ่อมสร้างถนนด้วยเจาราชแบบ Asphaltic concrete ขนาด หนาเฉลี่ย 10 ซม. หรือติดเป็นพื้นที่มีน้อยกว่า 30.00 ตร.ม.(ตามแบบ อบตท่าคล้อ)									
เข้าของงาน องค์การบริหารส่วนที่บาลท่าคล้อ อำเภอแก่งคอย จังหวัดสระบุรี									
สถานที่ก่อสร้าง ถนนสายบ้านท่าคาลา - หินขอน กม.0+000 ถึง กม.0+350 หมู่ที่ 8 (บ้านท่าคาลา) ที่บาลท่าคล้อ อำเภอแก่งคอย จังหวัดสระบุรี									
ประมาณราคายield พฤศจิกายน พศ. 2555	แบบเลขที่								
ลำดับ ที่	รายการ	ประมาณงาน		ค่าวัสดุ		ค่าแรงงาน		รวมค่าวัสดุ &ค่าแรงงาน	หมายเหตุ
		หน่วย	จำนวน	หน่วยละ	จำนวนเงิน	หน่วยละ	จำนวนเงิน		
1	งานทาง								
1.1	งานปูบบрусยีรุงสำหรับทาง								
	ทุ่นซื้อผ้าทางเรียบ(ยกตัว)	ตร.ม.	30.000	-	-	8,900	267,000	267,000	
1.2	งานฝึกฟาง+หลังทาง								
	Prime Coat	ตร.ม.	30.000	28.580	857.400	6.510	195.300	1,052.700	
	ปูแผ่น Poly felt	ตร.ม.	30.000	35.000	1,050.000	-	-	1,050.000	
	Asphaltic concrete (ปูบน Prime Coat)	ตร.ม.	30.000	499.640	14,989.200	13.150	394.500	15,383.700	
	รวม							17,753.400	

สรุปผลการประมาณราคาก่อสร้าง						
ส่วนราชการ องค์การบริหารส่วนที่บาลท่าคล้อ อำเภอแก่งคอย จังหวัดสระบุรี						
ประเภทงาน ซ่อมสร้างถนนด้วยเจาราชแบบ Asphaltic concrete ขนาด หนาเฉลี่ย 10 ซม. หรือติดเป็นพื้นที่มีน้อยกว่า 30.00 ตร.ม.(ตามแบบ อบตท่าคล้อ)						
เข้าของงาน องค์การบริหารส่วนที่บาลท่าคล้อ อำเภอแก่งคอย จังหวัดสระบุรี						
สถานที่ก่อสร้าง ถนนสายบ้านท่าคาลา - หินขอน กม.0+000 ถึง กม.0+350 หมู่ที่ 8 (บ้านท่าคาลา) ที่บาลท่าคล้อ อำเภอแก่งคอย จังหวัดสระบุรี						
ประมาณราคายield ประ 4 จำนวน 1 แผ่น						
ประมาณราคายield พฤศจิกายน พศ. 2555	แบบเลขที่					
ลำดับที่	รายการ	รวมค่างานทั้งหมด	FACTOR F	รวมค่าก่อสร้าง	หมายเหตุ	
1	งานทาง	17,753.400	1.3365	23,727.419	FACTOR F	
					- เงินล่วงหน้าจ่าย....%	
					- ดอกเบี้ยเงินกู้ 7 %	
					- เงินประจำเดือนตัก....%	
					- ค่าใช้จ่ายค่าเพิ่ม(VAT) 7 %	
	รวมเป็นค่าก่อสร้าง			23,727.419		
สุปร	ติดเป็นพื้นค่าก่อสร้างประมาณ			23,700.000		
	(สองหนึ่งสามหกห้าเจ็ดร้อยบาทถ้วน)					

ตารางที่ 3.3 ประมาณราคาก่อสร้างแปลงทดสอบที่ 3

รายการประมาณราคาก่อสร้าง								
ส่วนราชการ องค์การบริหารส่วนที่บาลลท่าคล้อ อำเภอแก่งคอย จังหวัดสระบุรี							แบบ ป.4/1	
ประเภทงาน ซ่อมสร้างถนนด้วยจราจรแบบ Asphaltic concrete ขนาด หนาเฉลี่ย 5 ซม. หรือติดเป็นพื้นที่ไม่น้อยกว่า 30.00 ตร.ม.(ตามแบบ อบต.ท่าคล้อ)								
เข้าออกงาน องค์การบริหารส่วนที่บาลลท่าคล้อ อำเภอแก่งคอย จังหวัดสระบุรี								
สถานที่ก่อสร้าง ถนนสายบ้านท่าศาลา - บ้านชื่อ กม.0+000 ถึง กม.0+350 หมู่ที่ 8 (บ้านท่าศาลา) ที่บาลลท่าคล้อ อำเภอแก่งคอย จังหวัดสระบุรี								
ประมาณราคายield หดตัวจิกายน พศ. 2555	แบบเลขที่							
ลำดับ ที่	รายการ	ปริมาณงาน		ค่าวัสดุ		ค่าแรงงาน		หมายเหตุ
		หน่วย	จำนวน	หน่วยละ	จำนวนเงิน	หน่วยละ	จำนวนเงิน	
1	งานทาง							
1.1	งานบั๊บปูรูจิโครงสร้างทาง							
	บดดีไซด์ผิวทางเรียบ(เทิ่ง)	ตร.ม.	30.000	-	-	8,900 267.000	267.000	
1.2	งานผิวทาง+ไอลิต							
	Tack Coat	ตร.ม.	30.000	4.800	146.700	6.200 186.000	332.700	
	ปูผ้า Poly felt	ตร.ม.	30.000	35.000	1,050.000	5.000 150.000	1,200.000	
	Asphaltic concrete (ปูน Trac Coat)	ตร.ม.	30.000	249.820	7,494.600	10.380 311.400	7,806.000	
	รวม						9,605.700	

สรุปผลการประมาณราคาก่อสร้าง						
ส่วนราชการ องค์การบริหารส่วนที่บาลลท่าคล้อ อำเภอแก่งคอย จังหวัดสระบุรี						
ประเภทงาน ซ่อมสร้างถนนด้วยจราจรแบบ Asphaltic concrete ขนาด หนาเฉลี่ย 5 ซม. หรือติดเป็นพื้นที่ไม่น้อยกว่า 30.00 ตร.ม.(ตามแบบ อบต.ท่าคล้อ)						
เข้าออกงาน องค์การบริหารส่วนที่บาลลท่าคล้อ อำเภอแก่งคอย จังหวัดสระบุรี						
สถานที่ก่อสร้าง ถนนสายบ้านท่าศาลา - บ้านชื่อ กม.0+000 ถึง กม.0+350 หมู่ที่ 8 (บ้านท่าศาลา) ที่บาลลท่าคล้อ อำเภอแก่งคอย จังหวัดสระบุรี						
ประมาณราคายield ป.4 จำนวน 1 แผ่น						
ประมาณราคายield หดตัวจิกายน พศ. 2555	แบบเลขที่					
ลำดับที่	รายการ	รวมจำนวนทั้งหมด	FACTOR F	รวมค่าก่อสร้าง	หมายเหตุ	
1	งานทาง	9,605.700	1.3365	12,838.018	FACTOR F	
					- เป็นจำนวนที่มาจ่าย.....%	
					- ตอกเป็นเงินถ้วน 7 %	
					- เป็นประมาณผลงานหัก%	
					- ค่าภาษีมูลค่าเพิ่ม(VAT) 7 %	
	รวมเป็นค่าก่อสร้าง			12,838.018		
สรุป	ติดเป็นพื้นที่ก่อสร้างประมาณ			12,800.000		
	(หนึ่งหมื่นสองพันแปดร้อยบาทถ้วน)					

3.3 เครื่องมือที่ใช้ในการวิจัย

- กล้องระดับพร้อมอุปกรณ์ครบชุด
- Strain gauge
- Settlement point วัดการทรุดตัวของผิวทาง
- กล้องถ่ายรูปดิจิตอล

บทที่ 4

ผลกระทบและการอภิปรายผลการทดสอบ

4.1 บทนำ

ถนนลาดยางสาย บ้านท่าศาลา-บ้านหินช้อน ระยะทาง 17.028 กิโลเมตร เขตตำบลท่าคล้อ อำเภอแก่งคอย จังหวัดสระบุรี มีความเสียหายอย่างมากและรุนแรง เนื่องจากถนนดังกล่าวเป็นทางผ่านของโรงงานหลายรายแห่ง ซึ่งมีรถบรรทุกขนาดใหญ่สัญจรไปมาระหว่างวันจำนวนมาก ไม่เพียงรถบรรทุกที่ใช้สัญจารในแต่ละวันเท่านั้น ถนนเส้นนี้ยังต้องแบกรับน้ำหนักจากการบรรทุกที่ลักษณะบรรทุกน้ำหนักเกินกว่าที่กฎหมายระบุไว้ ความเสียหายของถนนที่พบส่วนใหญ่เป็นแบบร่องล้อและรอยแตกกร้าวนผิวถนนลาดยาง (รูปที่ 4.1) ซึ่งส่งผลให้เกิดความเสียหายที่รุนแรงและเกิดเป็นหลุมบ่อตามมาภายหลัง ความเสียหายที่รุนแรงนี้เกิดจากน้ำฝนที่ซึมลงไปตามรอยกร้าวหรือตามร่องล้อที่เกิดขึ้นบนผิวถนน



รูปที่ 4.1 สภาพความเสียหายบนถนนที่เกิดขึ้นเนื่องจากรถบรรทุก

เนื่องจากการซ่อมแซมถนนด้วยวิธีเดิม รื้อผิวทางที่ชำรุดเสียหายและปูทับด้วยผิวแอสฟัลต์ ถอนกรีตอิกครั้ง นั้นมีความยุ่งยากและสิ้นเปลืองเวลา many ผู้วิจัยจึงมีแนวคิดที่จะศึกษาความเป็นไปได้ของการใช้แผ่นไอลามะในการซ่อมบำรุงถนนที่ชำรุด โดยจะทำการเปรียบเทียบการทรุดตัว และแนวร่องล้อที่เกิดขึ้นบนผิวทางที่ซ่อมแซมด้วยแผ่นไอลามะกับผิวถนนที่ซ่อมบำรุงด้วยวิธี

เดิม จุดเด่นของการใช้วัสดุเส้นใยสังเคราะห์ในการซ่อมแซมถนน นอกจากราสเตอร์ความแข็งแรง ให้กับถนนแล้ว ยังมีความสะดวกและรวดเร็วกว่าวิธีการเดิม

การซ่อมแซมถนนที่ชำรุดโดยการประยุกต์ใช้วัสดุไนลอนโลหะใหม่และยังไม่แพร่หลายมากนักมากนักในประเทศไทย เพื่อเปรียบเทียบประสิทธิภาพเชิงวิศวกรรมของถนนที่ซ่อมแซมด้วยแผ่นไนลอนที่ซ่อมแซมด้วยวิธีเดิม งานวิจัยนี้ได้จัดทำแปลงทดสอบจำนวนสามแปลง แต่ละแปลงมีความยาว 10 เมตร และกว้าง 3.0 เมตรพร้อมทำการติดตั้งอุปกรณ์ตรวจวัดในแต่ละแปลง แปลงทดสอบที่ 1 เป็นถนนที่ทำการซ่อมแซมวิธีดังเดิม (Deep Patch) แปลงทดสอบที่ 2 เป็นถนนที่เสริมแผ่นไนลอนรุ่น Polyfelt PGM-G 50/50 และปูทับด้วยแอสฟัลต์คอนกรีตหนา 70 มิลลิเมตร และแปลงทดสอบที่ 3 เป็นถนนที่เสริมแผ่นไนลอนรุ่น Polyfelt PGM-G 50/50 และปูทับด้วยแอสฟัลต์คอนกรีตหนา 50 มิลลิเมตร แผ่นไนลอนจะได้รับการสนับสนุนจากบริษัท Tencate Geosyntheticsประเทศไทย จำกัด นอกจากอิฐพลาสติกของความหนาของผิวทางแอสฟัลต์ที่ปูทับบนแผ่นไนลอนที่ต่อพูติกรรมของถนนแล้ว ผู้วิจัยยังได้ศึกษาอิฐพลาสติกของขนาดและความเสียหายของผิวทางเดิม โดยการเจาะรูบนชั้นผิวทางขนาด 3 มิลลิเมตร และ 10 มิลลิเมตร ในแปลงทดสอบที่ 2 และ 3 ก่อนปูทับด้วยแผ่นไนลอนที่ รายละเอียดการทดสอบและผลการวิจัยจะนำเสนอในหัวข้อด้านหลัง

4.2 คุณสมบัติของวัสดุและอุปกรณ์การตรวจวัด

4.2.1 แอสฟัลต์คอนกรีต

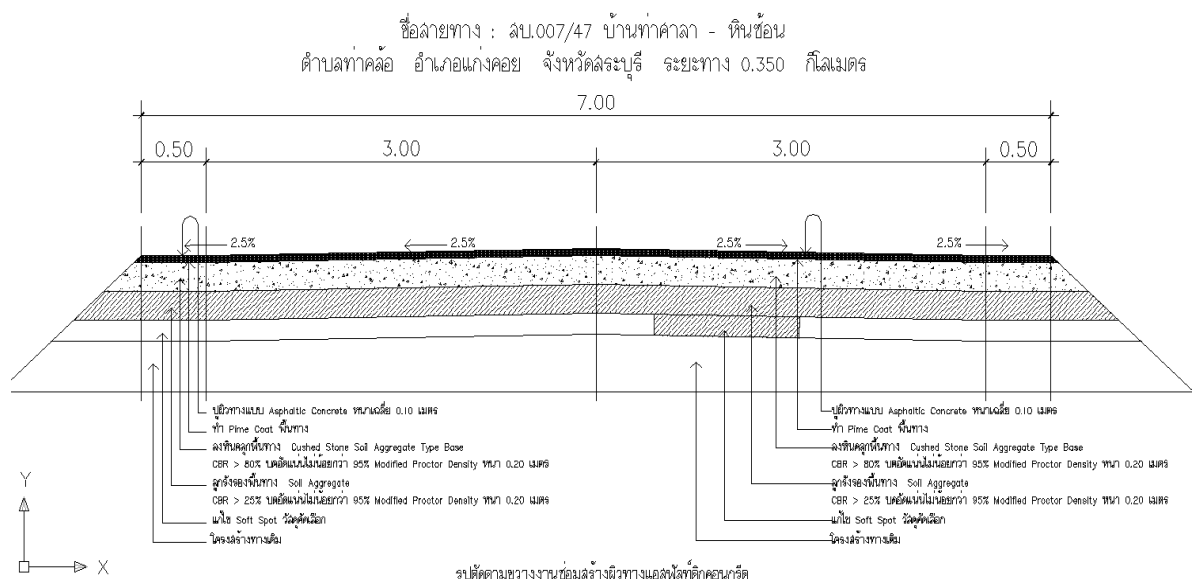
แอสฟัลต์คอนกรีตที่นำมาใช้ในการซ่อมผิวทาง ในแปลงทดสอบครั้งนี้ ได้ใช้ส่วนผสมแอสฟัลต์คอนกรีต (Job – Mix Formula) จากสายทางที่ สบ. 5030 แยก ทล. 3017 - บ้านคงมะเกลือ อำเภอวังน้ำเย็น จังหวัดสระบุรี กำหนดอัตราส่วนหินดิบไว้ดังนี้ หินฝุ่น : หิน $\frac{3}{8}$: หิน $\frac{1}{2}$: หิน $\frac{3}{4}$ = 24:19:20:19 และกำหนดอัตราส่วนหินร้อน ไว้ดังนี้ Hot Bin 1[#] : 2[#] : 3[#] : 4[#] = 45:25:18:12 แอสฟัลต์ซีเมนต์ที่ใช้เป็นชนิด AC 60 – 70 ร้อยละของ AC โดยน้ำหนักของมวลรวมเท่ากับ 5.1

4.2.2 โครงสร้างชั้นทาง

ชั้นพื้นทาง เป็นหินคลุกจากโรงโม่คำบลหน้าพระลาน อำเภอเกลินพะเพย จังหวัดสระบุรี เมื่อบดอัดหินคลุกในห้องปฏิบัติการด้วยพลังงานการบดอัดแบบสูงกว่ามาตรฐาน พนบฯ ความหนาแน่นแห้งสูงสุดมีค่าเท่ากับ 19.9 กิโลกรัมตันต่อสูตรบากเมตร ปริมาณความชื้นเหมาะสมมีค่าเท่ากับร้อยละ 6.2 CBR ของหินคลุกบดอัดมีค่าเท่ากับร้อยละ 82.8 ซึ่งเกินกว่าข้อกำหนดของกรมทางหลวงสำหรับการใช้เป็นวัสดุพื้นทาง ความแน่นของดินบดอัดในสนามมีค่ามากกว่าร้อยละ 95 ของความหนาแน่นในห้องปฏิบัติการ ชั้นพื้นทางหนา 0.20 เมตร

ชั้นรองพื้นทาง เป็นดินลูกรังจากบ่อต่ำบล็อกแคมภ์เกอเลิมพระเกียรติจังหวัดสระบุรี ความหนาแน่นแห้งสูงสุดและปริมาณความชื้นเหมาะสมของดินลูกรังบดอัดภายใต้พลังงานแบบสูงกว่ามาตรฐานมีค่าเท่ากับ 19.1 กิโลนิวตันต่อลูกบาศก์เมตร และร้อยละ 12.3 ตามลำดับ CBR ของดินบดอัดมีค่าเท่ากับร้อยละ 27.6 ค่าความแน่นของดินบดอัดในสถานมีค่ามากกว่าร้อยละ 95 ของความหนาแน่นในห้องปฏิบัติการชั้นรองพื้นทางหนา 0.20 เมตร

ชั้นวัสดุคัดเลือก เป็นลูกรังจากบ่อต่ำบล็อกแคมภ์เกอเนลิมพระเกียรติจังหวัดสระบุรี ความหนาแน่นแห้งสูงสุดและปริมาณความชื้นเหมาะสมของดินลูกรังบดอัดภายใต้พลังงานแบบสูงกว่ามาตรฐานมีค่าเท่ากับ 17.2 กิโลนิวตันต่อลูกบาศก์เมตร และร้อยละ 14.2 ตามลำดับ CBR ของดินบดอัดมีค่าเท่ากับร้อยละ 10.2 และมีความแน่นในสถานมากกว่าร้อยละ 95 ของความหนาแน่นในห้องปฏิบัติการ รูปที่ 4.2 รูปภาพแสดงสภาพด้านข้างของถนนสายนี้



รูปที่ 4.2 รูปด้านข้างของทางบ้านท่าศาลา – หินช้อน

4.2.3 วัสดุไส้สังเคราะห์ TenCateMirafi® PGM-G 50/50

TenCateMirafi® PGM-G50/50 เป็นแผ่นไส้สังเคราะห์ที่ใช้สำหรับเสริมแรงและซ่อมแซมในงานถนน ประกอบไปด้วยเส้นด้ายไยแก้วถ่วงเข้ากับ Nonwoven Polypropylene วัสดุคอมโพสิตนี้มีคุณสมบัติในการเสริมกำลังที่ดีมาก เนื่องจากเส้นไยแก้วมีความแข็งแรงสูง เมื่อวัสดุนี้เชื่อมติดกับ Liquid Asphalt ในปริมาณที่เหมาะสม Nonwoven Geotextile ซึ่งมีคุณสมบัติในการดูดซึมน้ำได้ดี จะทำให้ผิวสัมผัสระหง่าน PG-G50/50 และแอสฟัลต์คงทนกว่าเมื่อเทียบกับวัสดุเดียวกันที่ไม่มีไส้สังเคราะห์

ให้พันธะเขื่อมผ่านที่แข็งแรงมาก และช่วยป้องกันการแยกชั้นหรือการเลื่อนไถกระหว่างชั้น ได้ดี คุณสมบัติที่ดีอีกประการหนึ่งของ PGM-G50/50 คือสามารถป้องกันไม่ให้ของเหลวไหลซึมผ่านตามรอยร้าวที่เกิดขึ้นบนผิวน้ำหลังใช้งาน PGM-G50/50 ช่วยป้องกันไม่ให้น้ำฝนซึมลงไปทำลายชั้นทาง (ใต้ผิวทาง) ตามรอยร้าวหรือร่องล้อที่เกิดขึ้นบนผิวทาง จึงช่วยป้องกันการเกิดเป็นหลุมบ่อในถนน คุณสมบัติของวัสดุไขสังเคราะห์แสดงในตารางที่ 4.1

ตารางที่ 4.1 คุณสมบัติของวัสดุไขสังเคราะห์รุ่น PGM-G50/50

Mechanical Properties	Test Method	Unit	Average Roll Value
Tensile Strength*	ASTM D6637	kN/m	67
Tensile Elongation	ASTM D6637	%	4
Melting Point	ASTM D276	C°	400
Asphalt Retention	ASTM D6140	l/m ²	1.2
Mass/Unit Area	ASTM D5261	g/m ²	436
Glass by Weight	-	%	64.2

*Tensile Strength values refer to strength of the glass filaments.

4.2.4 Strain Gauge

Strain Gauge ที่ใช้เป็นผลิตภัณฑ์ของบริษัท Tokyo Sokki Kenkyujo Co., Ltd. ชนิด ZFLA-6-11 ซึ่งมีความสามารถในการใช้งานได้ที่ช่วงอุณหภูมิระหว่าง -10°C ถึง 300°C ดังนี้ จึงเหมาะสม กับการใช้ในงานในแปลงทดสอบ ซึ่งแออสฟัลต์คอนกรีตมีอุณหภูมิสูงถึง 107°C ถึง 165°C วัตถุประสงค์ที่ติดตั้ง Strain Gauge เพื่อใช้สำหรับวัดความเครียดที่เกิดขึ้นบนแผ่นไขสังเคราะห์เมื่อมีน้ำหนักจากยานพาหนะมากระทำบนผิวน้ำ ค่าความเครียดที่เกิดขึ้นอ่านได้จากเครื่อง Strain Indicator

4.2.5 Settlement Point

Settlement Point เป็นอุปกรณ์ที่ใช้สำหรับตรวจวัดการทรุดตัวหรือการปูดบวมของถนน หลังจากมีการใช้งาน เป็นหมุดที่มีขนาดเกลียวเบอร์ M12 ฝังลงไว้ในผิวน้ำลึก 30 มิลลิเมตร ค่าการทรุดตัววัดได้จากค่าระดับบนหัวหมุดด้วยกล้องระดับและเปรียบเทียบกับค่าระดับเริ่มต้น (หลังเทแออสฟัลต์คอนกรีต)

4.3 วิธีการทดสอบ

4.3.1 แปลงทดสอบ

แปลงทดสอบที่ 1 มีขนาดกว้าง 3.00 เมตร ยาว 10.00 เมตร ผู้วิจัยทำการบูรือผิวทางเดินที่เสียหายออก (หนา 0.10 เมตร) จนถึงชั้นพื้นทางเดินและทำการปรับแต่งผิวชั้นพื้นทางและบดอัดใหม่จนได้ความหนาแน่นตามมาตรฐานด้วยรอบด างนั้นทำการไฟร์มโค๊ท (Prime Coat) ด้วยยาง CSS -1 ในอัตรา 1.2 ลิตร/ตารางเมตร ทึ้งไว้ 24 ชั่วโมง แล้วปูแอลฟ์ล็อกต์คอนกรีตทับและบดอัดจนแน่น เมื่อได้ความหนาของชั้นแอลฟ์ล็อกต์คอนกรีตที่ต้องการ (เท่ากับ 0.10 เมตร) ติดตั้งหมุดวัดค่าการทรุดตัว (Settlement Point) ที่ผิวนน

แปลงทดสอบที่ 2 มีขนาดกว้าง 3.00 เมตร ยาว 10.00 เมตร ผู้วิจัยทำการบูรือผิวทางเดินที่เสียหายออก จนถึงชั้นพื้นทางเดินและทำการปรับแต่งผิวชั้นพื้นทางและบดอัดใหม่จนได้ความหนาแน่นตามมาตรฐานด้วยรอบด างนั้นทำการไฟร์มโค๊ท (Prime Coat) ด้วยยาง CSS -1 ในอัตรา 1.2 ลิตร/ตารางเมตร หลังทึ้งไว้ 24 ชั่วโมง ปูแอลฟ์ล็อกต์คอนกรีตทับแล้วบดอัดจนได้ความหนาของชั้นแอลฟ์ล็อกต์คอนกรีตเท่ากับ 30 มิลลิเมตร และเจาะรูขนาด 3 มิลลิเมตร และ 10 มิลลิเมตร ต่อมาราทำ การแท็คโค๊ทด้วยยาง CSS-1 ด้วยอัตราส่วน 1.2 ลิตร/ตารางเมตรแล้ว ทำการปูแผ่นไส้สังเคราะห์ (Polyfelt PGM-G 50/50) ทึ้งไว้สักพักให้น้ำยางแท็คโค๊ทซึมเข้าไปในเนื้อผ้า หลังจากนั้นติดตั้ง Strain Gauge ลงบนแผ่นไส้สังเคราะห์ปูแอลฟ์ล็อกต์คอนกรีตทับอีกชั้นแล้วทำการบดอัดให้แน่น จนได้ความหนาของแอลฟ์ล็อกต์คอนกรีตเหนือวัสดุเส้นไส้สังเคราะห์เท่ากับ 70 มิลลิเมตร และทำการติดตั้งหัวหมุดวัดค่าการทรุดตัว (Settlement Point) ที่ผิวนน

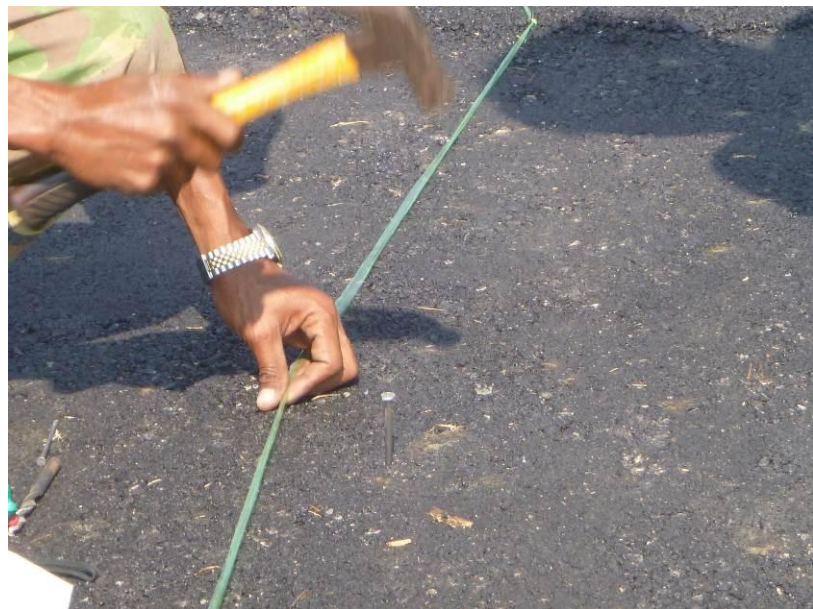
แปลงทดสอบที่ 3 มีขนาดกว้าง 3.00 เมตร ยาว 10.00 เมตร ขั้นตอนการดำเนินงานทำเช่นเดียวกับแปลงทดสอบที่ 2 เพียงแต่ความหนาชั้นแอลฟ์ล็อกต์คอนกรีตที่บูรือออก (หนึ่งชั้นทาง) เท่ากับ 50 มิลลิเมตร และความหนาของชั้นแอลฟ์ล็อกต์คอนกรีตเหนือวัสดุเส้นไส้สังเคราะห์เท่ากับ 50 มิลลิเมตรขั้นตอนการดำเนินการศึกษาแสดงในรูปที่ 4.3 ถึง 4.8



รูปที่ 4.3 ขั้นตอนการบูรร์อพิวทางเก่าออก



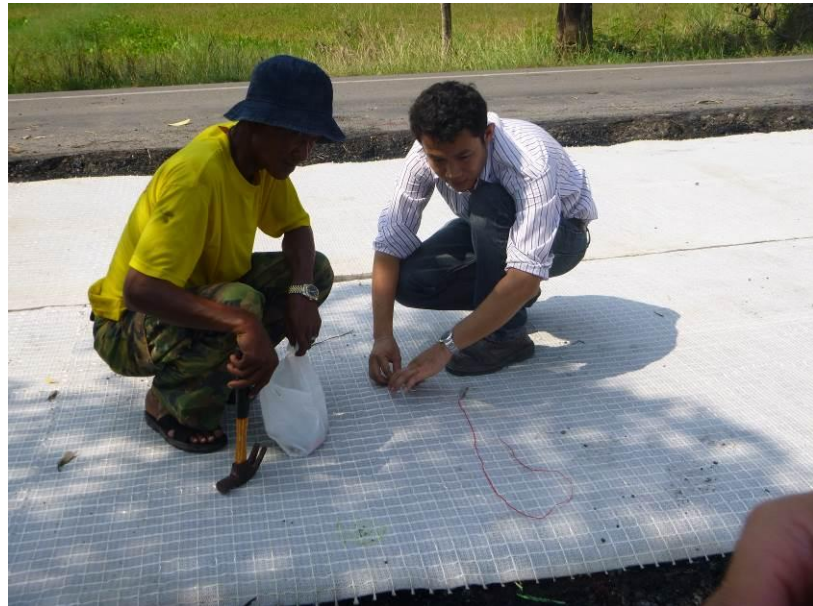
รูปที่ 4.4 ขั้นตอนการปูและบดอัดชั้นแอสฟัลต์คอนกรีต



รูปที่ 4.5 ขั้นตอนการเจาะรูที่พิภากเพื่อ打ちลงรองอยแตกร้าบบนพิภานน



รูปที่ 4.6 ขั้นตอนการปูวัสดุไส้สังเคราะห์



รูปที่ 4.7 ขั้นตอนการติดตั้ง Strain Gauge



รูปที่ 4.8 ขั้นตอนการบดอัดแอสฟัลต์คอนกรีตทับ

4.3.2 การติดตั้งอุปกรณ์ตรวจวัดและการวัดค่าความเครียด (Strain Gauge)

Strain Gauge ติดตั้งเฉพาะในแปลงทดสอบที่ 2 และ 3 เพื่อตรวจวัดความเครียดที่เกิดขึ้นในแผ่นไยสังเคราะห์ ดังแสดงในรูป 4.9 ตำแหน่งที่ติดตั้ง Strain Gauge อยู่ที่ระยะ 0.75 เมตร จากไอล์ฟาง โดยการวัดระยะจากแนวเส้นทึบที่บริเวณไอล์ฟาง เข้าไปในแนวซ่องระบายน้ำเป็นระยะ 0.75

เมตร แล้วตีเส้นตามแนวยาวของถนน จากนั้นตีเส้นขาวเพื่อกำหนดจุดติดตั้ง Strain Gauge ทุก 3.0 เมตร ตามแนวของถนน การติดตั้งเริ่มจากที่ Station เริ่มต้นของแต่ละแปลงทดสอบ แต่ละแปลงทดสอบจะติดตั้ง Strain Gauge จำนวน 3 จุด ตามระยะที่กำหนดไว้ข้างต้น โดยจุดที่ 1 และจุดที่ 3 ของแต่ละแปลง จะอยู่บนรูเจาะขนาด 3 มิลลิเมตร และขนาด 10 มิลลิเมตร ตามลำดับ เพื่อจำลองขนาดของรือยร้าบนผิวถนนที่ต้องการการซ่อมแซม จุดที่ 2 (ตำแหน่งกึ่งกลางระหว่างจุดที่ 1 และ 3) ไม่มีการเจาะรูเพื่อให้เป็นตำแหน่งเปรียบเทียบกับจุดที่ 1 และ 3 เมื่อได้ตำแหน่งของรูเจาะแล้ว ทำการเจาะรูตามขนาดที่กำหนด ทำการแท็คโถทลงไปบนผิวถนนเดิม ปูแผ่นไขสังเคราะห์ทับและทึ่งไว้ให้แผ่นไขสังเคราะห์ดูดซับน้ำยางแท็คโถทสักพัก และติดตั้ง strain gauge ที่จุดที่ 1, 2 และ 3 เมื่อติดตั้งแล้วเสร็จ ปูเอกสารฟล๊อกนกหรือทับแล้วดูดจนได้ระดับเดิมของผิวถนน การตรวจวัดค่าความเครียดบันทึกด้วยเครื่อง Strain Indicator ทุกวัน ช่วงเวลา 16.00 น. ถึง 18.00 น.



รูปที่ 4.9a ขั้นตอนการติดตั้ง Strain Gauge



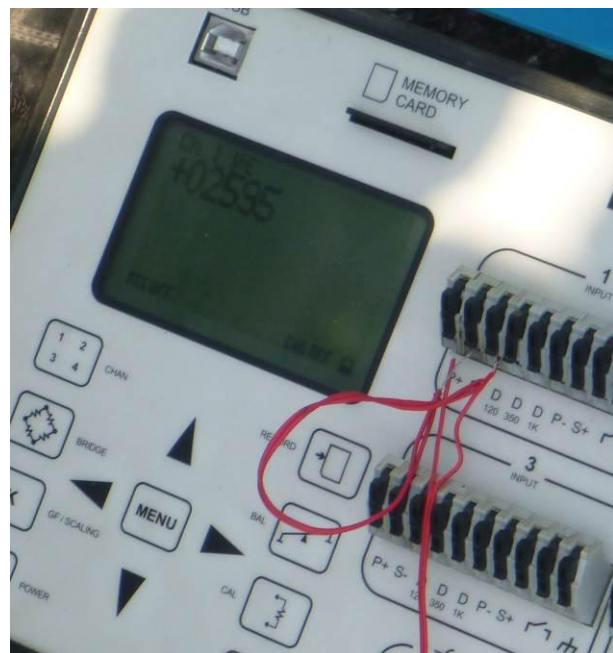
รูปที่ 4.9b ขั้นตอนการติดตั้ง Strain Gauge



รูปที่ 4.9c ขั้นตอนการติดตั้ง Strain Gauge



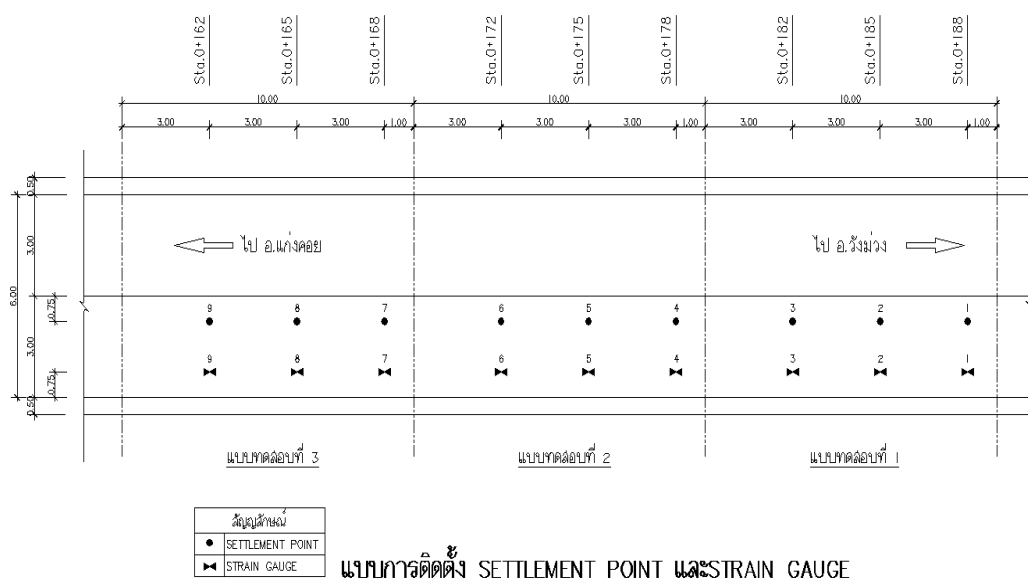
รูปที่ 4.9d ขั้นตอนการตรวจวัดค่า Strain Gauge



รูปที่ 4.9e ขั้นตอนการตรวจวัดค่า Strain Gauge

4.3.3 การติดตั้งอุปกรณ์ตรวจและการตรวจวัดค่าการทรุดตัว (Settlement Point)

Settlement point ติดตั้งในแปลงทดสอบทั้งสาม เพื่อตรวจวัดค่าการทรุดตัวที่เกิดขึ้นบนผิวน การติดตั้งทำโดยการวัดระยะจากแนวเส้นประบริเวณกึ่งกลางถนนเข้าไปในแนวซ่องระบายน เป็นระยะ 0.75 เมตร และตีเส้นตามแนวยาวของถนน จากนั้นทำการตีเส้นขวางเพื่อกำหนดจุดติดตั้ง Settlement Point ทุกๆ 3.0 เมตร ในแนวตามยาวของถนน การติดตั้งเริ่มจากที่ Station เริ่มต้นของแต่ละแปลงทดสอบ การตรวจวัดค่าระดับทำทุกวันในช่วงเวลา 16.00 น. ถึง 18.00 น. ด้วยกล้องระดับรายละเอียดและดำเนินการติดตั้งอุปกรณ์ตรวจแสดงในรูปที่ 4.10



รูปที่ 4.10 รายละเอียดและตำแหน่งที่ติดตั้งอุปกรณ์ตรวจวัด

4.3.4 การวัดค่าระดับตามขวางของแปลงทดสอบ (Cross Sectional Profile)

ผู้วิจัยแบ่งระยะในแต่ละแปลงทดสอบตามแนวขวางของถนนทุกระยะ 1.00 เมตร รวม 10 แนว โดยเริ่มต้นจาก Station เริ่มต้นของแต่ละแปลงทดสอบ และทำการแบ่งระยะตามแนวยาวของแต่ละแนวที่แบ่งไว้ในแนวตามขวางของถนน ทุกๆ 0.25 เมตร ให้เป็นแนวตาราง 1.00×0.25 เมตร ค่าระดับที่จุดตัดบันทึกด้วยกล้องวัดระดับ และนำเปรียบเทียบกับค่าระดับเริ่มต้นเพื่อหาค่าการทรุดตัวบนผิวทางตามรูปที่ 4.11



รูปที่ 4.11 ขั้นตอนการทำทางค่าระดับในแนวขวางถนน

4.3.5 ปริมาณจราจร

ปริมาณการจราจรจะทำการประมาณโดยการนับปริมาณจราจร ตลอด 24 ชั่วโมง และแบ่งประเภทรถเป็น 1. รถชนต์ส่วนตัว 2. รถโดยสารขนาดเล็ก 3. รถกระเบบรถทุก 4. รถตู้ 5. รถเมล์ 6. รถบรรทุกเล็ก 6 ล้อขึ้นไป 7. รถบรรทุกใหญ่ 10 ล้อขึ้นไป 9. รถอื่นๆ เช่น รถไถ รถแทรกเตอร์ เป็นต้น การนับรถจะทำต่อเนื่องเป็นเวลา 28 วัน ติดต่อกัน และนำผลที่ได้มาแปลงเป็นค่า Equivalent 18,000-Pound Single-Axle Loads (ESAL) เมื่อ ESAL คือจำนวนเที่ยวของน้ำหนักเพลาเดี่ยวมาตรฐาน 18,000 ปอนด์ที่เปรียบเทียบและแปลงมาจากจำนวนเที่ยวของน้ำหนักเพลาที่มีขนาดและชนิดที่ต่างกัน โดยที่น้ำหนักเหล่านี้จะมีผลผลกระทบต่อความเสี่ยงของโครงสร้างชั้นทางเท้ากัน ค่า ESAL คำนวณได้จากการที่ 4.1a - 4.1b

$$TF = \frac{\sum_i (No.\text{of} \text{ Axles} \times LEF)}{No.\text{of} \text{ Vehicles}} \quad 4.1a$$

$$ESAL = No.\text{ of } vehicles \times TF \times GF \quad 4.1b$$

เมื่อ GF คืออัตราการเจริญเติบโตของการจราจร (Growth Factor) งานวิจัยนี้กำหนดให้มีค่าเท่ากับ 1 เนื่องจากงานวิจัยนี้ไม่ได้มีวัตถุประสงค์ในการคาดคะเนปริมาณการจราจรในอนาคต ดังนั้นจึงอาศัยสมการดังกล่าวในการแปลงน้ำหนักเพลาที่แตกต่างกันให้เป็นน้ำหนักเพลาเดี่ยว

มาตรฐาน 80 กิโลนิวตัน การแปลงนี้ต้องใช้ค่า Truck Factor ซึ่งแบร์พันตามน้ำหนักบรรทุกของยานพาหนะ จำนวนเพลาต่อคัน และค่า Load Equivalent Factor(LEF) ตารางที่ 4.2 แสดงค่า Load Equivalent Factor ของน้ำหนักเพลากวนัดต่างๆ

ตารางที่ 4.2 ค่า Load Equivalent Factor ของน้ำหนักเพลากวนัดต่างๆ

น้ำหนักเพลา(kN)	เพลาเดี่ยว	เพลาคู่
22.250	0.00500	
44.500	0.0877	0.00688
66.750	0.478	0.036
89.000	1.51	0.1206
111.25	3.53	0.308
133.50	6.97	0.658
155.75	12.50	1.23
178.00	21.08	2.08
200.25	34.00	3.27
222.50	52.88	4.86
244.75		6.93
267.00		9.59
289.25		12.96
311.50		17.19
333.75		22.47
356.00		28.99

4.4 ผลการทดสอบ

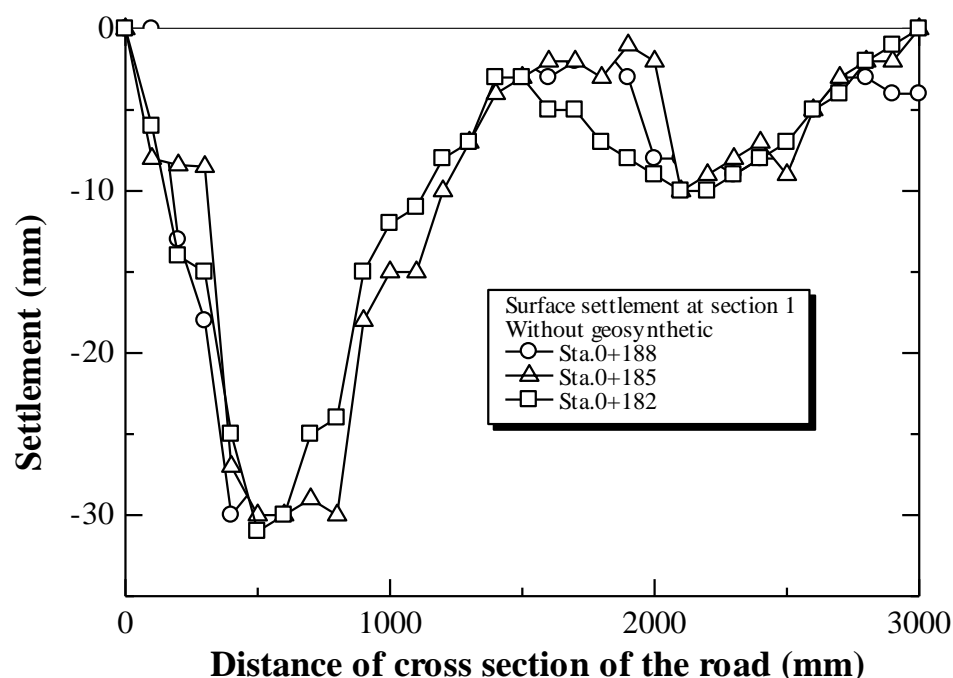
4.4.1 การทดสอบตัวของถนน

รูปที่ 4.12 แสดงผลการตรวจวัดค่าระดับตามขวาง โดยในแต่ละแปลงทดสอบจะมีการตรวจวัดทั้งหมด 3 แนว ซึ่งแต่ละแนวมีระยะห่างกันแนวละ 3 เมตร ทำการตรวจวัดที่ระยะเวลา 28 วันหลังการก่อสร้างทดสอบ (วันที่ 9 มีนาคม 2556) แสดงให้เห็นถึงการทดสอบตัวที่แตกต่างกันอย่างมากตามขวางของถนน ซึ่งบ่งบอกว่าความเสียหายของถนนเป็นแบบร่องล้อ แนวการเกิดร่องล้ออยู่ในตำแหน่งเดียวกันทั้งสามแปลง แปลงทดสอบที่ 2 (แปลงทดสอบที่ใช้แผ่นเส้นไข

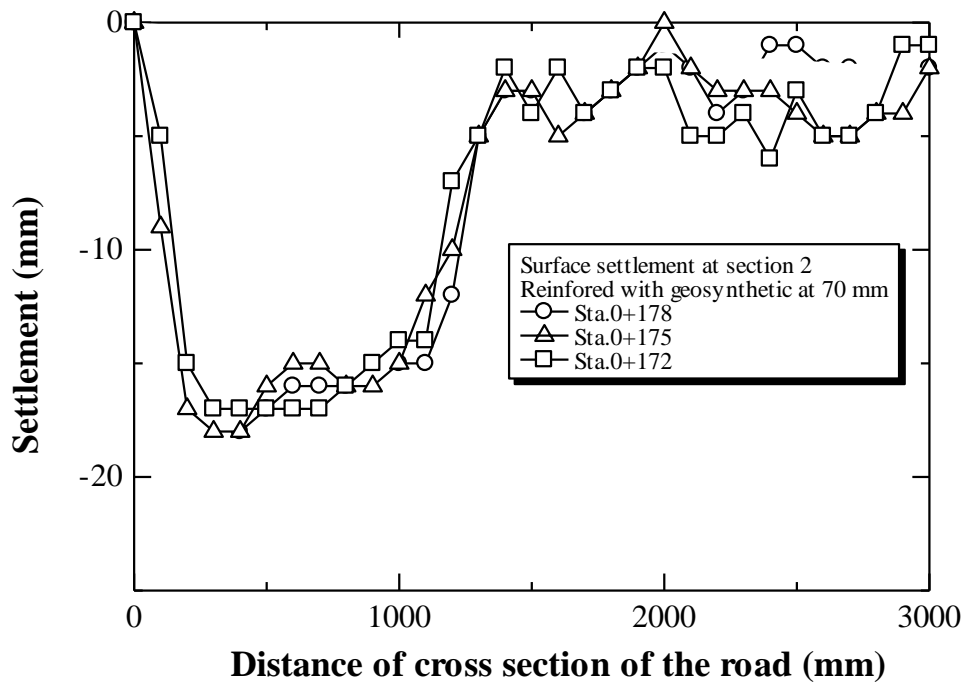
สังเคราะห์ และปูทับด้วยแอสฟัลต์คอนกรีตหนา 70 มิลลิเมตร) เกิดการทรุดตัวที่เป็นแนวร่องล้อ น้อยที่สุด ด้วยค่าเฉลี่ยประมาณ 16 มิลลิเมตร แปลงทดสอบที่ 3 (แปลงทดสอบที่ใช้แผ่นเส้นไช สังเคราะห์ และปูทับด้วยแอสฟัลต์คอนกรีตหนา 50 มิลลิเมตร) มีค่าการทรุดตัวสูงสุดเฉลี่ยประมาณ 20 มิลลิเมตร ในขณะที่ แปลงทดสอบที่ 1 เกิดการทรุดตัวเป็นแนวร่องล้อมากที่สุด ซึ่งค่าการทรุดตัวสูงสุดมีค่าเฉลี่ยประมาณ 30 มิลลิเมตร ความเสียหายของถนนเกิดในระยะเวลาอันสั้นมากหลัง สิ้นสุดการซ่อมบำรุง และความเสียหายเป็นแบบร่องล้อ ถึงแม้ว่าถนนที่ซ่อมบำรุงด้วยแอสฟัลต์คอนกรีต (ผิวทางใหม่) ไม่เพียงพอต่อน้ำหนัก axle ถึงแม้ว่าถนนที่ซ่อมบำรุงด้วยวิธีเดิม แต่ถนนที่ซ่อมบำรุงด้วยแผ่นไช ส่วนบนถนนกับถนนที่ซ่อมบำรุงด้วยวิธีเดิม แต่ละตัวติดตั้งที่ระยะ 2.25 เมตร จากแนวกึ่งกลางของถนนซึ่ง เป็นบริเวณตำแหน่งที่เกิดร่องล้อผลการตรวจวัดการทรุดตัวตลอดแนวถนนมีค่าใกล้เคียงกัน ซึ่งแสดงถึงความสม่ำเสมอของคุณสมบัติของวัสดุโครงสร้างทางหลังซ่อมบำรุง (การควบคุมการก่อสร้างได้มาตรฐาน) การทรุดตัวที่เกิดขึ้นในแต่ละแปลงทดสอบมีค่าเพิ่มขึ้นตามจำนวนรอบของ yanpan ที่เพิ่มขึ้น การทรุดตัวของถนนทั้งสามแปลงทดสอบในช่วงที่ ESAL น้อยกว่า 2000 มีค่าใกล้เคียงกันมาก แต่เมื่อ ESAL มากกว่า 2000 อัตราการทรุดตัวของถนนทั้งสามเส้นนี้เริ่มแตกต่างกัน อัตราการทรุดตัวที่เกิดขึ้นที่แปลงทดสอบที่ 2 และแปลงทดสอบที่ 3 น้อยกว่าอัตราการทรุดตัวที่เกิดขึ้นในแปลงทดสอบที่ 1 อย่างเห็นได้ชัด

ผลทดสอบข้างต้นแสดงให้เห็นถึงประสิทธิภาพของแผ่นเส้นไช สังเคราะห์ในการซ่อมแซมถนน แผ่นเส้นไช สังเคราะห์สามารถลดอัตราการทรุดตัวและค่าการทรุดตัวพลาสติกเนื่องจากน้ำหนักแบบกระทำซ้ำได้อย่างมีประสิทธิภาพ ในช่วงที่ ESAL น้อยกว่า 2000 ซึ่งวัสดุผิวทางยังเกิดความล้าไม่มากนัก การเสริมแผ่นไช สังเคราะห์แบบไม่มีส่วนช่วยลดการทรุดตัว เพราะค่าการทรุดตัวจะแปรผันโดยตรงกับคุณสมบัติของแอสฟัลต์คอนกรีตเป็นหลัก ซึ่งเมื่อนอกนั้นทั้งสามแปลงทดสอบ แต่เมื่อวัสดุเริ่มเกิดการล้า (ESAL เกินกว่า 2000) แผ่นเส้นไช สังเคราะห์สามารถช่วยลดการทรุดตัวในแนวเดียวได้อย่างเห็นได้ชัด เมื่อมีน้ำหนักของ yanpan กระทำบนผิวของถนนชั้น

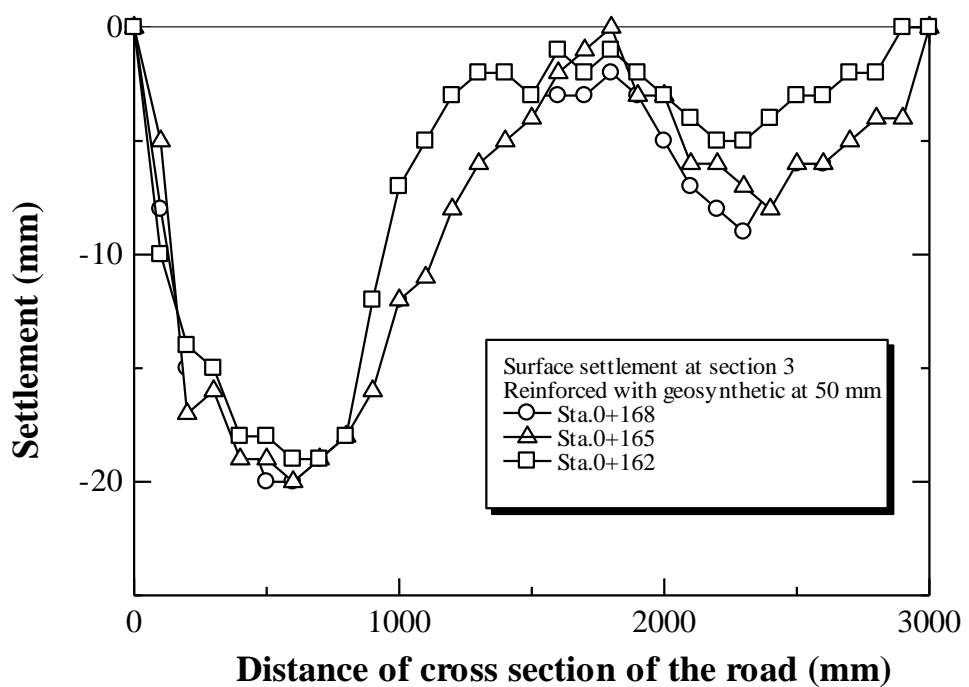
แอสฟัลต์คอนกรีต (ที่ปราศจากแผ่นไยสังเคราะห์) จะเกิดการแอลอตตัวกล้ำกับการแอลอตตัวของถนน แต่เมื่อเสริมแผ่นไยสังเคราะห์ แผ่นไยสังเคราะห์จะช่วยรับหน่วยแรงดึงที่เกิดขึ้นระหว่างผิวสัมผัสระหว่างชั้น ส่งผลให้การแอลอตตัวของผิวทางและการเสียรูปด้านข้างของชั้นพื้นทางลดลงไม่เพียงแต่ความความด้านทางแรงดึงของแผ่นเส้นไยสังเคราะห์ที่จะช่วยลดอัตราการทรุดตัวและการเกิดร่องล้อเท่านั้น ความหนาของชั้นผิวทางที่อยู่เหนือแผ่นไยสังเคราะห์ก็เป็นอีกตัวแปรที่ช่วยลดปัญหาดังกล่าว ดังจะเห็นได้ว่าอัตราการทรุดตัวและการทรุดตัวสุดท้าย ($ESAL=7536$ ซึ่งเป็นปริมาณจราจรสุดท้ายของการตรวจวัดที่ระยะเวลา 28 วันหลังการก่อสร้าง) ของแปลงทดสอบที่ 2 มีค่าต่ำกว่าแปลงที่ 3 เนื่องจากแอสฟัลต์คอนกรีตเป็นวัสดุที่มีคุณภาพดีมาก (โมดูลัสและความด้านทางแรงเฉือนสูงมาก) เมื่อเปรียบเทียบกับวัสดุชั้นทาง ดังนั้น ความหนาของแอสฟัลต์คอนกรีตเหนือแผ่นวัสดุสังเคราะห์จึงช่วยลดความเค็นที่กระจายลงสู่ชั้นทางและชั้นพื้นทาง จึงช่วยลดการเสียรูปด้านข้างของชั้นทางและชั้นพื้นทาง การเสียรูปด้านข้างที่ต่ำนี้ช่วยลดการเกิดร่องล้อในชั้นผิวทาง การทรุดตัวเนื่องจากแนวร่องล้อในแปลงทดสอบที่ 2 มีค่าน้อยกว่าการทรุดตัวในแปลงทดสอบที่ 3 ถึงร้อยละ 20 ของค่าซึ่งมีแนวโน้มที่ค่าการทรุดตัวจะมีค่าคงที่ในระยะยาว



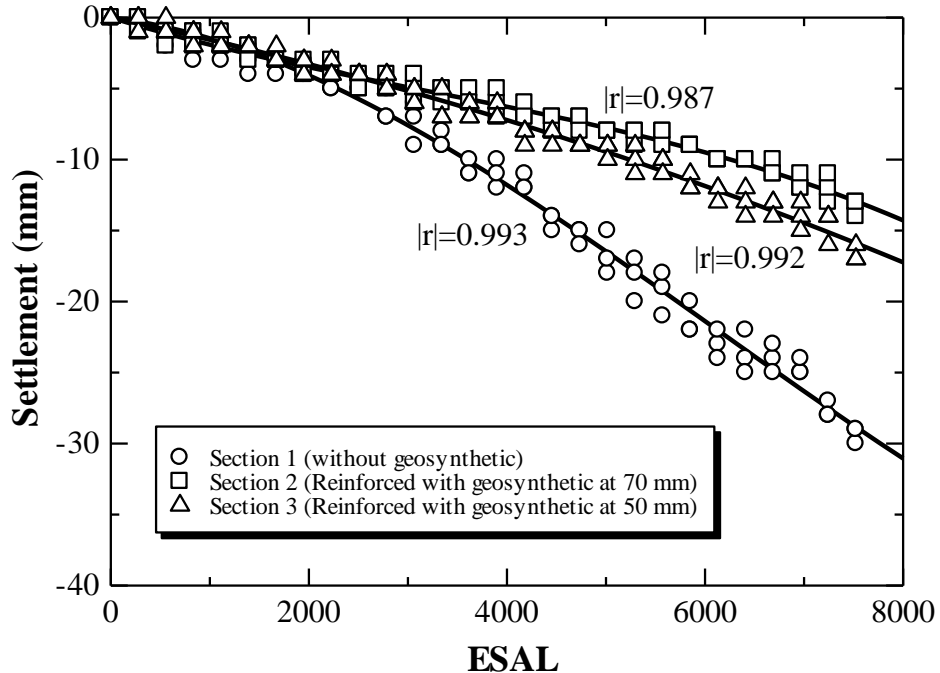
รูปที่ 4.12a ค่าระดับการทรุดตัวตามแนวตัดขวางถนนในแปลงทดสอบที่ 1



รูปที่ 4.12b ค่าระดับการทรุดตัวตามแนวตัดขวางถนนในแปลงทดสอบที่ 2



รูปที่ 4.12c ค่าระดับการทรุดตัวตามแนวตัดขวางถนนในแปลงทดสอบที่ 3



รูปที่ 4.13 ความสัมพันธ์ระหว่างอัตราการทรุดตัวเทียบกับจำนวนเที่ยวของน้ำหนัก เพลาเดี่ยวมาตรฐาน 18,000 ปอนด์

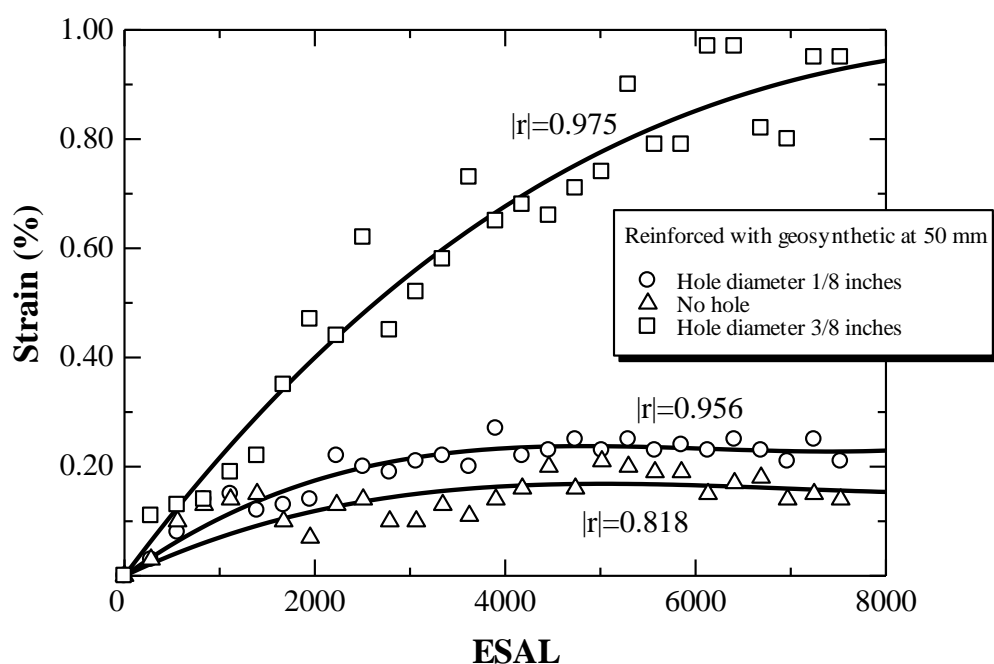
4.4.2 ความเครียดที่เกิดขึ้นบนแผ่นไยสังเคราะห์

รูปที่ 4.14 แสดงอิทธิพลของความหนาผิวทางและขนาดของความเสียหายบนต่อความสามารถต้านทานแรงดึงของแผ่นไยสังเคราะห์ ขนาดของรูและความหนาของแօสฟีล์ต คอนกรีตเหนือแผ่นไยสังเคราะห์มีผลอย่างมากต่อความเครียดที่เกิดขึ้นในแผ่นไยสังเคราะห์ สำหรับผิวทางทึ้งที่มีรูและไม่มีรู ความสัมพันธ์ระหว่างความเครียดและ ESAL มีลักษณะที่คล้ายกัน กล่าวคือความเครียดมีค่าเพิ่มขึ้นตามค่า ESAL และมีค่าประมาณคงที่ เมื่อ ESAL มีค่าสูง สำหรับผิวทางที่ไม่มีรูและผิวทางที่มีรูขนาดเล็ก (3 มิลลิเมตร) ความเครียดมีแนวโน้มคงที่ เมื่อ ESAL มีค่าประมาณ 4000 แต่สำหรับผิวทางที่มีรูขนาดใหญ่ (10 มิลลิเมตร) ความเครียดมีแนวโน้มคงที่ เมื่อ ESAL มีค่าเกินกว่า 4000

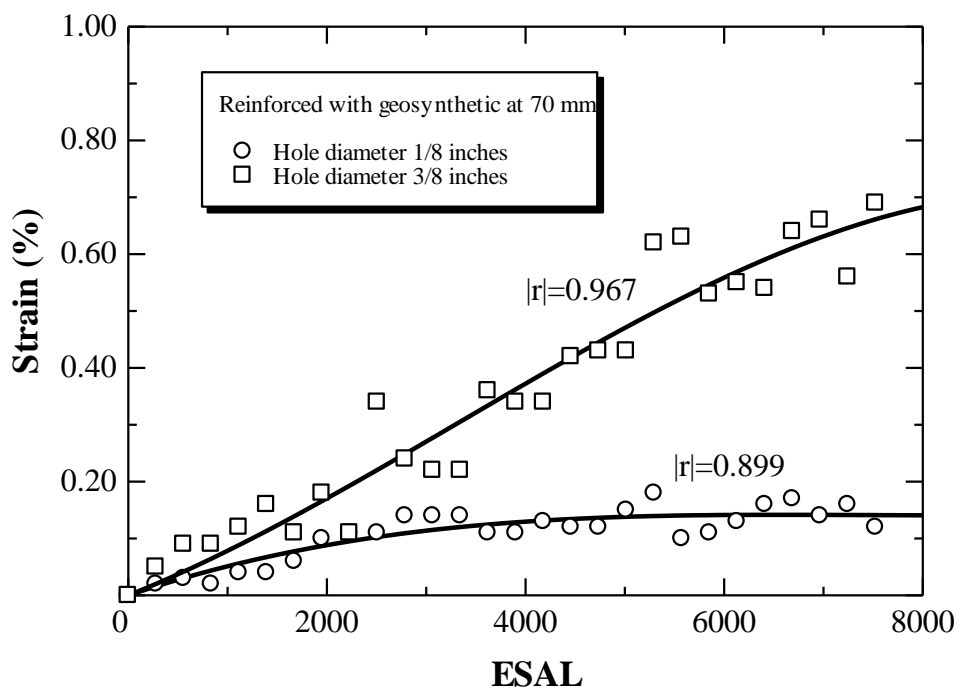
ตำแหน่งที่เสริมแรงของแผ่นไยสังเคราะห์มีผลต่อความเครียดที่เกิดขึ้นดังแสดงในรูปที่ 4.14a-4.14b ซึ่งสอดคล้องกับค่าการทรุดตัวที่เกิดขึ้นในหัวข้อที่แล้ว สำหรับขนาดรูจะเชิงที่เท่ากัน ค่าความเครียดที่ตรวจวัดได้ในแปลงทดสอบที่ 3 (ผิวทางหนา 50 มิลลิเมตร) มีค่ามากกว่าค่าความเครียดที่เกิดขึ้นในแปลงทดสอบที่ 2 (ผิวทางหนา 70 มิลลิเมตร) เนื่องจากความเข้มของความ

เก็บ (stress concentration) ที่บริเวณรูเจาะแปรผันตรงกับความหนาของผิวทางที่อยู่เหนือแผ่นไย สังเคราะห์ ความหนาถึงน้อย (รูเจาะใกล้กับล้อของยานพาหนะ) ความเข้มของความเก็บก็จะมาก นอกจากนี้ ยังพบว่าความหนาของผิวทางไม่มีผลผลกระทบต่อค่า ESAL ที่เกิดความเครียดคงที่ แต่มีผลต่อขนาดของความเครียด ความหนาที่ต่างกัน 30 มิลลิเมตร มีผลต่อความเครียดถึงประมาณ 2 เท่า สำหรับรูขนาดเล็ก และประมาณ 1.5 เท่า สำหรับรูขนาดใหญ่

อิทธิพลของขนาดรูเจาะต่อความเครียดที่เกิดขึ้นในแผ่นไยสังเคราะห์แสดงได้ดังนี้ ที่ความหนาของผิวทางเท่ากับ 50 มิลลิเมตร ความเครียดเกิดขึ้นร้อยละ 0.2 สำหรับรูเจาะขนาด 3 มิลลิเมตร และมากถึงร้อยละ 0.9 สำหรับรูเจาะขนาด 10 มิลลิเมตร ในขณะที่ ความเครียดนิ่กขนาดของแผ่นไยสังเคราะห์เท่ากับร้อยละ 4 ผลการทดสอบนี้ยืนยันได้ว่า แม้ว่ารูเจาะจะมีขนาดใหญ่ถึง 10 มิลลิเมตรแต่ไยสังเคราะห์ยังสามารถป้องกันความเสียหายของชั้นทางได้ หากปราศจากแผ่นไยสังเคราะห์ ความเสียหายของผิวทางค่อนข้างทำให้ผิวทางใหม่เกิดบัดบี้จากการผิวทางด้านล่างขึ้นสู่ด้านบน โดยสรุป แผ่นไยสังเคราะห์มีประสิทธิภาพในการซ้อมแซมและป้องกันรอยร้าวที่เกิดขึ้นได้อย่างมีประสิทธิภาพดีเยี่ยม



รูปที่ 4.14a ความสัมพันธ์ระหว่างความเครียดที่เกิดขึ้นบนผ้าไยสังเคราะห์และจำนวนเที่ยวของน้ำหนักเพลาเดี่ยวมาตรฐาน 18,000 ปอนด์ สำหรับแปลงทดสอบที่ 3



รูปที่ 4.14b ความสัมพันธ์ระหว่างความเครียดที่เกิดขึ้นบนผ้าไยสังเคราะห์และจำนวนเที่ยวของน้ำหนักเพลาเดี่ยวมาตรฐาน 18,000 ปอนด์ สำหรับแปลงทดสอบที่ 2

บทที่ 5

สรุปผลการวิจัย

5.1 สรุปผลการวิจัย

- 5.1.1 สำหรับคุณสมบัติของผิวทางที่เหมือนกันการเสริมแผ่นไยสังเคราะห์ช่วยลดขนาด และอัตราการทรุดตัวแบบร่องล้อ นอกจากข้อได้เปรียบด้านวิศวกรรมแล้ว การซ่อมแซมถนนโดยใช้แผ่นไยสังเคราะห์ยังมีต้นทุนค่าก่อสร้างที่ต่ำกว่าการซ่อมแซมถนนแบบเดิม เนื่องจากการซ่อมแซมถนนโดยใช้แผ่นไยสังเคราะห์ไม่จำเป็นจะต้องบุดไส้ผิวทางออก (บุผิวทางใหม่ทับบนผิวทางเดิม ได้ทันที) จึงทำให้การทำงานมีความสะดวกและรวดเร็ว
- 5.1.2 สำหรับความหนาของผิวทางที่เท่ากัน (100 มิลลิเมตร) การติดตั้งแผ่นไยสังเคราะห์ที่ระดับความลึก 70 มิลลิเมตร (แปลงทดสอบที่ 2) ช่วยลดการทรุดตัวแบบร่องล้อได้ดีที่สุด (ดีกว่าที่ระดับความลึก 50 มิลลิเมตร สำหรับแปลงทดสอบที่ 3) ทั้งนี้เนื่องจาก การติดตั้งแผ่นไยสังเคราะห์ใกล้ชั้นทางเดิมช่วยลดการเสียรูปด้านข้างในชั้นทางเดิม ได้มีประสิทธิภาพมากกว่า (การเสียรูปด้านข้างในชั้นผิวทางอาจมีค่าใกล้เคียงกัน เพราะผิวทางทั้งสามแปลงมีความหนาเท่ากันและมีคุณสมบัติของแอลฟ์ล็อกอนกรีตเหมือนกัน)
- 5.1.3 ตำแหน่งที่ติดตั้งแผ่นไยสังเคราะห์มีผลต่อค่าความเครียดที่เกิดขึ้นบนแผ่นไยสังเคราะห์ ซึ่งสอดคล้องกับค่าการทรุดตัวที่เกิดขึ้น สำหรับขนาดฐานรูเจาะที่เท่ากัน ค่าความเครียดบนแผ่นไยสังเคราะห์ที่เกิดขึ้นในแปลงทดสอบที่ 3 (ผิวทางใหม่หนา 50 มิลลิเมตร) มีค่ามากกว่าค่าความเครียดที่เกิดขึ้นในแปลงทดสอบที่ 2 (ผิวทางใหม่หนา 70 มิลลิเมตร) เนื่องจากค่าความเค้นประสิทธิผลในแนวคั่ง ตำแหน่งที่ทำการติดตั้งแผ่นไยสังเคราะห์ในแปลงที่ 3 นั้นมีค่ามากกว่า สำหรับความหนาของผิวทางใหม่ที่เท่ากัน ความเครียดมีค่าเพิ่มขึ้นตามขนาดของรูบนผิวทางเดิม แผ่นไยสังเคราะห์ยังคงสามารถต้านทานการฉีกขาดขึ้นจากผิวทางเดิมได้ แม้ว่าขนาดของความเสียหายใหญ่ถึง 10 มิลลิเมตร

เอกสารอ้างอิง

- กวี หวังนิเวศน์กุล (2548). **การออกแบบผิวทาง กรุงเทพฯ : ชีเอ็คชูคชั่น**
- รศ. จิรพัฒน์ โชคิกไกร (2531). **วิศวกรรมทาง ภาควิชาวิศวกรรมโยธา คณะวิศวกรรมศาสตร์ มหาวิทยาลัยเกษตรศาสตร์**
- GEOSYNTHETICS PRODUCT OVERVIEW** (2556). บริษัท เทนคาด้าจิโอซินเทติกส์ (ประเทศไทย) จำกัด
- Berg, R.R., Chistopher, B.R., and Perkins, S. (2000). **Geosynthetics Reinforcement of the Aggregate Base/Subbase Courses of Pavement Structures**, GMA White Paper II, prepared for AASHTO Committee 4E.
- Fwa, T. F., Tan, S. A. and Zhu, L. Y. (2004). **Rutting Prediction of Asphalt Pavement Layer Using C – Φ Model**. USA, Journal of Transportation Engineering, ASCE, 675-683, September/October.
- Hessing C., Thesseling B. (2011) **A Sustainable Maintenance Method for Cracked Pavements Using Polyester Asphalt Reinforcement. Increase Pavement Life, Reduce Maintenance and Create Sustainable Pavements**, 14th International Flexible Pavements Conference, Australia, September 2011.
- Youwai, S., Kongkitkul, W., Punthutaech, K., Anujorn, P. and Jongpradist, P. (2012). **Geosynthetic Reinforced Flexible Pavement in Thailand**, Ground Improvement.165. No.4, pp.249-258.

ภาคพนวก

	HOT MIX DESIGN BY THE MARSHALL METHOD ชั่วโมงคราบกอนและวิเคราะห์ สำหรับทางหลวงชนบทที่ 2 (ระยะที่ 2) การพัฒนาห้องตรวจแบบ ตราชราตร่วมกันออกแบบ	
โครงการ ซ่อมสร้างพื้นที่ AC (Asphalt Pavement In - Place Recycling)		หน้า หน้า 4020 แก้ไข พ.ศ.2017 - ฉบับสมบูรณ์ ๑๙๖๒๔ ฉบับที่
มาตรฐานคุณภาพเดียวกัน ไม่ได้เพิ่ม ไม่ได้กินพื้นที่เดิมเดิม		ชนิด AC 60-70 ขนาดผงอัด บริษัท ทีปีไอทีคอนซัลต์ จำกัด
คำแนะนำ Job - Mix Formula for Hot Mix Design		
คุณสมบัติทั่วไป		
1. ขนาดแบบใช้ในการ Marshall Test 75 blows 2. อัตราการร่วน Aggregate ที่ต้อง Hot Bind , MX Design Gradation และ Tolerant gradation ที่ดีออกแบบไว้ได้แล้วมากที่สุด 3. Bulk Sp.Gr. Of Mix Aggregate (Average) 2.677 4. Bulk Sp.Gr. Of Asphalt Cement 1.02 5. Asphalt Absorption by Aggregate 0.24 %		
คุณสมบัติพิเศษ		
1. ไฟล์ที่ใช้ในการออกแบบ Asphalt Cement (60-70 pen.) 5.1 ± 0.3% (by Wt. Of Agg.) สำหรับ Asphalt Concrete 2. ความแน่นการบดกับ Asphalt Concrete ต้องไม่น้อยกว่า 98 % ของความแน่นเมื่อต้องการใช้รับรอง Marshall Compaction ที่ทดสอบในไฟล์ที่ได้รับการอนุมัติ 3. ต่อ Marshall Stability ที่ทดสอบประมาณต้องไม่น้อยกว่า 1,130 ต่อิกกรัม (เมตร) 4. ต่อ Marshall Blow ที่ทดสอบประมาณต้องไม่น้อยกว่า 8-16 5. ต่อ Graduation ของมวลสาร ให้ไปจาก Job-Mix Formular ตามที่ระบุใน Tolerant Graduation ที่ดีของงานทุกครั้งที่คำนวณที่ได้ คุณสมบัติการร่วนและต้านทานไฟฟ้าต้องให้ดีที่สุด ให้ดีที่สุดของแบบที่ดีที่สุด 6. ต่อปริมาณของ Asphalt Cement ที่ทดสอบ ให้ในเขตกรวย ติดไปจาก 5.1 ± 0.3% (แต่ต้องไม่เกิน ± 0.3%) ให้ต่อเนื่องการต่อไฟฟ้าต้านทานไฟฟ้าต้องดีที่สุดที่เป็นไปได้ 7. ต่อปริมาณของ Asphalt Cement ที่ต้องติดไปจาก 5.1 ± 0.3% แม้ว่าจะไม่ได้ทดสอบรวมกับการต้านทานไฟฟ้า 8. ต่อปริมาณของ Asphalt Cement ให้ติดไปจาก 5.1 ± 0.3% ให้น้ำร้อน Asphalt Concrete แล้วทันทีที่มีปริมาณของเชิง ของที่นำไปต่อต้านทานไฟฟ้าต้องดีที่สุดที่เป็นไปได้ Asphalt Cement ที่ถูกต้องที่สุด		
ข้อควรระวัง		
คุณสมบัติที่ให้ประสึกษาให้กับในกระบวนการผลิต Asphalt Concrete จะดีในระหว่าง 120°C - 150°C ภายในประมาณ 1 ชั่วโมง หากต้อง Pave		
ข้อบ่งคัด		
1. 5% Prime Coat หรือ Tack Coat ให้ต้องเท็จสนิท ก่อนปูผู้ทาง Asphalt Concrete 2. ต่อเข้าบี้ต่องตาการะเบี่ยงชั้น Prime Coat ทั้งหมดให้ทันที ต้องตรวจสอบโดยอย่างหนัก และบน Prime Coat, ให้ต้องเท็จสนิท ให้กราฟฟิคๆ ให้ได้เจ็บเจี้ยวจุดต่อ Prime Coat 3. ต่อกระดอง Crack ที่บีบ Base Course เมื่อต้องต่อเข้าบี้ต่องชั้น Prime Coat และต้องต่อร้าวแบบที่ต้องต่อ Base Course ให้สูงต้องต่อตั้งตระหง่าน 4. ต่อชั้น Base Courses เกิดเป็นหุบมีหักหรือแยก เป็นคราบกอนใหญ่ให้ค่อย ชะลอนๆ แล้ว Pushing หรือ Leveling ร่อง Hot Mix แล้วกดกับให้แน่นกับผืนดินที่ต้องต่อ		
<div style="border: 1px solid black; padding: 5px; margin-bottom: 10px;"> รับรองผู้ดูแลท่านที่ดีที่สุด ที่นี่คือท่านที่ดีที่สุดที่ท่านนั้น </div> <div style="text-align: right;"> </div>		

<p>สำนักตรวจสอบและวิเคราะห์ ดำเนินการหลังจากหนบหัวที่ 2 (ธรรมบุรี) กรมทางหลวงชนบท</p> <p>ใบแจ้งสรุปผลการทดสอบคอนกรีต Asphalitic Concrete</p> <p>โครงการ ซ่อมบำรุงทาง AC (โรลเวิร์ค Pavement In - Place Recycling) ระยะที่ สายสัก 4020 กม. กก. 0.3017 - บ.คงจะเกตติ๊ด ถ.วังน้ำเย็น จ.สระบุรี ยาว 2,240 ม. ผู้รับผิดชอบ บริษัท ยาร์กสิน จำกัด</p>		<p>ทะเบียนเลขที่ ลข. ๒๖๖๐๑๘๙๐๔</p> <p>มาตรฐานที่ = ๔ ๐๓๓ ๒๕๕๖</p> <p>ผู้ลงนามที่พิมพ์ (นายชาคร ศิริเดช) นายนรันดา ไชราภรณ์</p> <p>ผู้ลงนามที่อักษรไทย (นายชาคร ศิริเดช) นายนรันดา ไชราภรณ์</p> <p>ผู้ลงนามที่อักษรไทย (นายชาคร ศิริเดช) นายนรันดา ไชราภรณ์</p>							
คุณสมบัติ ของ หิน วัสดุ									
1. หิน	1. หินอ่อน	2. หิน 3/4"	หินแข็ง						
	3. หิน 3 : 8"	4. หิน 1/2"	หินแข็ง						
2. ขนาดหิน Gradation		ผลการกรองแบบ % Passing							
ค่าเฉลี่ย No.	ขนาดหิน mm		ขนาดหิน mm						
	40-70	25-35	Bin # 1 Bin # 2 Bin # 3 Bin # 4 # 2 : # 3 : # 1 : # 2 : # 3 : # 4 :						
1"	100	100	100.00	100.00	100.00	100.00	100		
3/4"	100	100	100.00	100.00	100.00	100.00	100		
1/2"	80-100	100	100.00	100.00	98.26	32.47	91.58		
3/8"	-	90-100	100.00	100.00	49.76	2.61	79.26		
# 4	44-74	55-85	97.83	22.48	0.33	0.44	49.75		
# 8	24-58	32-67	91.51	1.80	0.33	0.41	41.74		
# 30	-	-	49.60	0.00	0.00	0.00	22.32		
# 50	5-21	7-23	33.92	0.00	0.00	0.00	15.26		
# 100	-	-	24.21	0.00	0.00	0.00	10.89		
# 200	2-10	2-10	19.32	0.00	0.00	0.00	8.69		
2. Percentage of wear	< 40 %	24%	19%	20%	19%				
3. ร่องรอยรอยขีดข่วน	< 95 %	-	-	-	-				
4. Soundness Test	< 9 %	-	-	-	-				
5. Flakiness Index	< 30 %	-	26%	22%	22%				
6. Elongation Index	< 30 %	-	-	-	-				
7. Specific Gravity	HTM 200	HTM # 200							
Bulk (over dry)	-	2.695	2.646	2.676	2.685	2.677			
Bulk (SSD)	-	2.702	2.673	2.690	2.696				
Apparent	2.677	2.714	2.721	2.714	2.714				
8. น้ำหนักต่ำสุด %	45	25	18	12	5.1	4.8	4.6		
มาตรฐานปูนซีเมนต์				Asphalt Cement					
Bin # 1 หินอ่อน	Bin # 2 หิน 3/8"		Bin # 3 หิน 1/2"		% AC 比重 mm 4040 ลูกบาศก์		% AC 比重 mm 4040 ลูกบาศก์ % Absorption by Wt. of Agg.		
	45	25	18	12	5.1	4.8	4.6	0.24	
ผลการทดสอบ				ผลการทดสอบ					
ค่าคุณภาพของหิน ค่าของหินที่ได้มาจากการทดสอบ Marshall Test 75 Blows				ค่าคุณภาพของหินที่ได้มาจากการทดสอบ หินที่ได้มาจากการทดสอบ					
ค่าคุณภาพของหิน ค่าของหินที่ได้มาจากการทดสอบ Marshall Test 75 Blows				หินที่ได้มาจากการทดสอบ หินที่ได้มาจากการทดสอบ					
<ul style="list-style-type: none"> - Marshall Density = 2.388 gm/cm³ - Marshall Stability = 1,130 kg. - Flow = 12.2 - Air Void = 4.0 - V. F. B. = 74.0 - V. M. A. = 15.8 				<table border="1" style="width: 100%; border-collapse: collapse;"> <tr> <td style="padding: 5px;">หินที่ได้มาจากการทดสอบ</td> </tr> <tr> <td style="padding: 5px;">หินที่ได้มาจากการทดสอบ</td> </tr> </table>				หินที่ได้มาจากการทดสอบ	หินที่ได้มาจากการทดสอบ
หินที่ได้มาจากการทดสอบ									
หินที่ได้มาจากการทดสอบ									

<p>ส่วนตรวจสอบและวิเคราะห์ สำนักทางหลวงชนบทที่ 2 (สระบุรี) กรมทางหลวงชนบท</p>		<p>ทะเบียนเลขที่ ๕๗๐๑๒๓๐๗ สรุปผลวันที่ - ๔ ก.พ. ๒๕๖</p> <p>เจ้าหน้าที่ทดสอบ <i>[Signature]</i></p> <p>เจ้าหน้าที่วิเคราะห์ <i>[Signature]</i></p> <p>เจ้าหน้าที่ตรวจสอบ <i>[Signature]</i></p>												
<p>ใบแจ้งผลการทดสอบ</p> <p>งาน พิวทาง Asphaltic Concrete</p>														
<p>โครงการ ซ่อมสร้างพิวทาง AC (ไดบาร์ Pavement In-Place Recycling)</p> <p>& สถานที่ สาย สบ.4020 แยก หล.3017 - บ.ดงมะเกลือ อ.วังน้ำ洋 จ.สระบุรี</p>														
<p>DENSITY</p> <table border="1"> <thead> <tr> <th>% AC. by wt. of Agg.</th> <th>Density (gm/cm³)</th> </tr> </thead> <tbody> <tr><td>4.0</td><td>2.300</td></tr> <tr><td>4.5</td><td>2.350</td></tr> <tr><td>5.0</td><td>2.388</td></tr> <tr><td>5.5</td><td>2.360</td></tr> <tr><td>6.0</td><td>2.320</td></tr> </tbody> </table>			% AC. by wt. of Agg.	Density (gm/cm³)	4.0	2.300	4.5	2.350	5.0	2.388	5.5	2.360	6.0	2.320
% AC. by wt. of Agg.	Density (gm/cm³)													
4.0	2.300													
4.5	2.350													
5.0	2.388													
5.5	2.360													
6.0	2.320													
<p>STABILITY</p> <table border="1"> <thead> <tr> <th>% AC. by wt. of Agg.</th> <th>Stability</th> </tr> </thead> <tbody> <tr><td>4.0</td><td>850</td></tr> <tr><td>4.5</td><td>1050</td></tr> <tr><td>5.0</td><td>1100</td></tr> <tr><td>5.5</td><td>1120</td></tr> <tr><td>6.0</td><td>980</td></tr> </tbody> </table>			% AC. by wt. of Agg.	Stability	4.0	850	4.5	1050	5.0	1100	5.5	1120	6.0	980
% AC. by wt. of Agg.	Stability													
4.0	850													
4.5	1050													
5.0	1100													
5.5	1120													
6.0	980													
<p>VOID (%)</p> <table border="1"> <thead> <tr> <th>% AC. by wt. of Agg.</th> <th>Voids (%)</th> </tr> </thead> <tbody> <tr><td>4.0</td><td>11.0</td></tr> <tr><td>4.5</td><td>6.0</td></tr> <tr><td>5.0</td><td>4.0</td></tr> <tr><td>5.5</td><td>3.5</td></tr> <tr><td>6.0</td><td>5.0</td></tr> </tbody> </table>			% AC. by wt. of Agg.	Voids (%)	4.0	11.0	4.5	6.0	5.0	4.0	5.5	3.5	6.0	5.0
% AC. by wt. of Agg.	Voids (%)													
4.0	11.0													
4.5	6.0													
5.0	4.0													
5.5	3.5													
6.0	5.0													
<p>FLOW</p> <table border="1"> <thead> <tr> <th>% AC. by wt. of Agg.</th> <th>Flow</th> </tr> </thead> <tbody> <tr><td>4.0</td><td>6.0</td></tr> <tr><td>4.5</td><td>8.0</td></tr> <tr><td>5.0</td><td>11.0</td></tr> <tr><td>5.5</td><td>14.0</td></tr> <tr><td>6.0</td><td>16.0</td></tr> </tbody> </table>			% AC. by wt. of Agg.	Flow	4.0	6.0	4.5	8.0	5.0	11.0	5.5	14.0	6.0	16.0
% AC. by wt. of Agg.	Flow													
4.0	6.0													
4.5	8.0													
5.0	11.0													
5.5	14.0													
6.0	16.0													
<p>V. M. A.</p> <table border="1"> <thead> <tr> <th>% AC. by wt. of Agg.</th> <th>V. M. A.</th> </tr> </thead> <tbody> <tr><td>4.0</td><td>18.0</td></tr> <tr><td>4.5</td><td>15.0</td></tr> <tr><td>5.0</td><td>14.5</td></tr> <tr><td>5.5</td><td>15.0</td></tr> <tr><td>6.0</td><td>18.0</td></tr> </tbody> </table>			% AC. by wt. of Agg.	V. M. A.	4.0	18.0	4.5	15.0	5.0	14.5	5.5	15.0	6.0	18.0
% AC. by wt. of Agg.	V. M. A.													
4.0	18.0													
4.5	15.0													
5.0	14.5													
5.5	15.0													
6.0	18.0													
<p>V. F. B.</p> <table border="1"> <thead> <tr> <th>% AC. by wt. of Agg.</th> <th>V. F. B.</th> </tr> </thead> <tbody> <tr><td>4.0</td><td>40.0</td></tr> <tr><td>4.5</td><td>60.0</td></tr> <tr><td>5.0</td><td>75.0</td></tr> <tr><td>5.5</td><td>78.0</td></tr> <tr><td>6.0</td><td>72.0</td></tr> </tbody> </table>			% AC. by wt. of Agg.	V. F. B.	4.0	40.0	4.5	60.0	5.0	75.0	5.5	78.0	6.0	72.0
% AC. by wt. of Agg.	V. F. B.													
4.0	40.0													
4.5	60.0													
5.0	75.0													
5.5	78.0													
6.0	72.0													
<p>ข้อสรุปวิเคราะห์</p> <ul style="list-style-type: none"> - Marshall Density = 2.388 gm/cc. - Marshall Stability = 1,130 kg. - Flow (0.01") = 12.2 - Air Voids = 4.0 % - V. F. B. = 74.0 % - V. M. A. = 15.8 % 		<p>รับรองผลเฉพาะตัวอย่าง ที่นำมาทดสอบเท่านั้น</p>												

ประวัติผู้เขียน

นายจตุรงค์ เจริญผล เกิดวันที่ 14 มกราคม 2508 ที่ตำบลแก่งคอย อำเภอแก่งคอย จังหวัดสระบุรี จบการศึกษาระดับมัธยมศึกษาตอนต้นที่โรงเรียนแก่งคอย อำเภอแก่งคอย จังหวัดสระบุรี ระดับประกาศนียบัตรวิชาชีพ (ปวช.) ระดับประกาศนียบัตรวิชาชีพชั้นสูง (ปวส.) แผนกวิชาช่าง ก่อสร้างที่วิทยาลัยเทคนิคสระบุรี และสำเร็จการศึกษาระดับปริญญาตรี ปี พ.ศ. 2547 คณะวิศวกรรมศาสตร์และเทคโนโลยี สาขาวิศวกรรมโยธา จากมหาวิทยาลัยเวสเทิร์น และสำเร็จการศึกษาระดับปริญญาโท ปี พ.ศ. 2552 คณะสังคมศาสตร์ หลักสูตรรัฐประศาสนศาสตรมหาบัณฑิต สาขา รัฐประศาสนศาสตร์ มหาวิทยาลัยราชภัฏเทพสตรี และในปี พ.ศ. 2554 ได้ศึกษาต่อในระดับปริญญาโท หลักสูตรการบริหารงานก่อสร้างและสารสนเทศป์โภค สาขาวิชาวิศวกรรมโยธา สำนักวิชา วิศวกรรมศาสตร์ มหาวิทยาลัยเทคโนโลยีสุรนารี และปัจจุบันรับราชการตำแหน่ง นักบริหารงานช่าง ปฏิบัติหน้าที่ ผู้อำนวยการกองช่าง สำนักงานเทศบาลตำบลคำพราน อำเภอวังม่วง จังหวัดสระบุรี